



Universidad Nacional Autónoma de México

Facultad de ingeniería

Materia: Robótica

Primer Pacial

Profesor: Erick Peña Medina

Alumno: Rocio Fabiola Romero Bernal

No. de cuenta

316214690

Índice

1.	Introducción	2
2.	Objetivo	3
3.	Modelado cinemático de la posición 3.1. Cinemática directa de la posición	3 3 4
4.	Modelado cinemático de las velocidades 4.1. Cinemática directa de velocidades. 4.2. Cinemática inversa de velocidades. 4.3. Cálculo de las velocidades lineales 4.4. Cálculo de las velocidades angulares	6 7 7 8 9
5.	5.1. Cinemática directa de las aceleraciones	
6.	6.1. Dinámica directa	13 15 16 16 18 18 19 22 22
7.	CODIGO MATLAB	23
8.	Conclusión	3 0
9.	Referencias	30

1. Introducción

En el presente proyecto se desarrollan los modelos cinematicos y dinámicos del modelo SCARA (Selective Compliance Assembly Robot Arm), una de las arquitecturas robóticas más comunes en la automatización industrial, especialmente en procesos de ensamblaje y manipulación de materiales. El robot SCARA, es ideal para tareas que requieren alta precisión y velocidad, como en líneas de producción en fábricas de ensamblaje electrónico, y en industrias que demandan manipulación de componentes en el plano horizontal con mínima flexibilidad en el eje vertical.

Este tipo de robot está diseñado para realizar movimientos en un plano, con una estructura que le permite simular el comportamiento de un brazo humano, pero con la ventaja de ser mucho más preciso y eficiente. El impacto de los robots SCARA en la sociedad y la economía es significativo. La automatización de procesos industriales, referentes a la industria 4.0 no solo mejora la productividad, sino que también reduce los riesgos laborales al realizar tareas peligrosas y repetitivas que antes eran ejecutadas por los humanos. Esto libera a los trabajadores de las labores más monótonas, permitiéndoles concentrarse en tareas de mayor valor añadido, como el análisis de datos o la supervisión de sistemas automatizados.

En términos económicos, la implementación de robots SCARA en las fábricas mejora la eficiencia de la producción, reduciendo los costos y aumentando la competitividad de las empresas. Este tipo de robots son esenciales para mantener las líneas de producción ágiles y adaptables a las demandas del mercado. Por otro lado, el despliegue de tecnologías como estas también promueve un cambio en la mentalidad empresarial, llevándolas hacia una mayor inversión en innovación y en el uso de tecnologías emergentes para mejorar la calidad de los productos y servicios.

Por ende, calcular el modelo dinámico y cinemático de un robot SCARA es esencial para entender y predecir su comportamiento durante las operaciones automatizadas. Por ejemplo, el modelo cinemático permite definir la relación entre las articulaciones del robot y su efector final, lo que facilita la planificación y ejecución precisa de movimientos dentro de un espacio tridimensional. Mientras que, el modelo cinemático inverso permite calcular los ángulos de las articulaciones necesarios para alcanzar una posición específica, optimizando la trayectoria y la eficiencia operativa en tareas industriales complejas.

Por su parte, el modelo dinámico describe cómo las fuerzas y los momentos afectan al robot, considerando aspectos como la inercia, gravedad y fuerzas externas que interactúan con el sistema. Esto es fundamental para el control de movimiento, ya que permite calcular los torques requeridos para que el robot se mueva según lo planeado. La dinámica es crucial no solo para garantizar la estabilidad y el rendimiento del robot, sino también para integrar el robot de manera efectiva en entornos de Industria 4.0, donde la automatización avanzada y la inteligencia artificial son clave para la optimización de procesos y la mejora de la productividad.

El desarrollo de un proyecto que implique el uso de robots SCARA requiere la integración de varias ramas de la ingeniería, principalmente la ingeniería mecatrónica, la electrónica, la informática y la física aplicada. Los estudiantes que participen en el desarrollo y programación de estos robots deben tener conocimientos en:

- Control Automático: Para implementar algoritmos que permitan el control preciso de los movimientos del robot.
- Robótica: Para diseñar y modelar la estructura mecánica del robot, garantizando su capacidad para realizar tareas de forma eficiente.
- Electrónica: Para la construcción y programación de los circuitos electrónicos que permiten que el robot reciba instrucciones y realice movimientos de acuerdo a las señales de control.
- Matemáticas Aplicadas: Para calcular la cinemática y dinámica del robot, utilizando las herramientas matemáticas necesarias para modelar y simular el comportamiento del robot en un entorno real.

A continuación se presenta el perfil de contratación para un profesional que desarrolle este tipo de proyectos:

Perfil de Contratación: Ingeniero/a de Robótica y Automatización

Objetivo del Puesto

Este perfil está orientado a la búsqueda de un Ingeniero/a de Robótica y Automatización para desarrollar y optimizar un robot SCARA en entornos industriales. El candidato ideal debe tener una formación en Ingeniería Mecatrónica, Electrónica o afines.

Responsabilidades

El Ingeniero/a será responsable de:

Diseñar, simular, programar e implementar sistemas de control para el robot SCARA.

- 2. Realizar pruebas para validar el funcionamiento del robot en tareas de ensamblaje y manipulación.
- 3. Integrar el robot en líneas de producción automatizadas, trabajando con otros equipos para garantizar la eficiencia y seguridad en las operaciones.
- 4. Generar documentación técnica que respalde el proceso de desarrollo y validación del robot.

Requisitos

- Formación: Ingeniería Mecatrónica, Electrónica o afines.
- Conocimientos: Experiencia en algoritmos de cinemática inversa y directa, control de sistemas automáticos, automatización industrial y herramientas como MATLAB y Simulink.
- Habilidades: Trabajo en equipo, enfoque innovador, y capacidad para enfrentar desafíos técnicos.

2. Objetivo

El propósito es la aplicación de las técnicas de cálculo de cinemática y dinámica directa e inversa, aprendidas en clase, en el análisis de un robot SCARA.

3. Modelado cinemático de la posición

3.1. Cinemática directa de la posición

Primero se identifica que el robot es planar **RRR** (tres juntas rotacionales en el plano) y se definen las variables cinemáticas: longitudes de eslabones l_1 , l_2 , l_3 y ángulos articulares θ_1 , θ_2 , θ_3 , además de un sistema de referencia inercial en la base. Luego se asigna un marco de referencia a cada eslabón y se escriben las matrices homogéneas de cada par junta—eslabón; en un robot planar estas matrices contienen una rotación alrededor de z y una traslación sobre el eje x del eslabón correspondiente. Con esas matrices se construyen T_{01} , T_{12} y T_{23} y se encadenan para obtener $T_{03} = T_{01} T_{12} T_{23}$, de donde más adelante se obtendrán el vector de posición del efector final y la orientación total asociada a la suma de rotaciones. El enfoque enfatiza que la cinemática directa es una función que transforma coordenadas de las articulaciones del robot en posición y orientación del efector final.

Para un RRR planar típico, las componentes de la posición del efector quedan como la suma de proyecciones de cada eslabón con los ángulos acumulados: $x = l_1 \cos \theta_1 + l_2 \cos(\theta_1 + \theta_2) + l_3 \cos(\theta_1 + \theta_2 + \theta_3)$,

$$y = l_1 \sin \theta_1 + l_2 \sin(\theta_1 + \theta_2) + l_3 \sin(\theta_1 + \theta_2 + \theta_3).$$

La orientación del efector en el plano se expresa como:

$$\phi = \theta_1 + \theta_2 + \theta_3, \tag{1}$$

coherente con el encadenamiento de rotaciones coplanares.

(cos(aij) c	os(bi _j) cos in(ai _j) cos		- cos(gi _j) sin(ai _j) ;) sin(bi _j) sin(gi _j)	$\begin{aligned} &\sin(\mathbf{a}\mathbf{i}_j)\sin(\mathbf{g}\mathbf{i}_j) + \cos(\mathbf{a}\mathbf{i}_j)\cos(\mathbf{g}\mathbf{i}_j)\sin(\mathbf{b}\mathbf{i}_j) \\ &\cos(\mathbf{g}\mathbf{i}_j)\sin(\mathbf{a}\mathbf{i}_j)\sin(\mathbf{b}\mathbf{i}_j) - \cos(\mathbf{a}\mathbf{i}_j)\sin(\mathbf{g}\mathbf{i}_j) \\ &\cos(\mathbf{b}\mathbf{i}_j)\cos(\mathbf{g}\mathbf{i}_j) \end{aligned}$	~
1	$-\sin(\theta_{O,1})$ $\cos(\theta_{O,1})$ 0 0				
	$-\sin(\theta_{1,2})$ $\cos(\theta_{1,2})$ 0 0	ı			
	$-\sin(\theta_{2,3})$ $\cos(\theta_{2,3})$ 0 0	I .			

```
\begin{array}{l} \mathsf{T}\_3\_\mathsf{P} = \\ \begin{pmatrix} 1 & 0 & 0 & L_3 \\ 0 & 1 & 0 & 0 \\ 0 & 0 & 1 & 0 \\ 0 & 0 & 0 & 1 \end{pmatrix} \\ \\ \mathsf{T}\_0\_\mathsf{P} = \\ \begin{pmatrix} \sigma_2 & -\sigma_1 & 0 & x_{O,1} + L_2\cos(\theta_{1,2} + \theta_{O,1}) + L_1\cos(\theta_{O,1}) + L_3\,\sigma_2 \\ \sigma_1 & \sigma_2 & 0 & y_{O,1} + L_2\sin(\theta_{1,2} + \theta_{O,1}) + L_1\sin(\theta_{O,1}) + L_3\,\sigma_1 \\ 0 & 0 & 1 & 0 \\ 0 & 0 & 0 & 1 \end{pmatrix} \\ \\ \text{where} \\ \\ \sigma_1 = \sin(\theta_{1,2} + \theta_{2,3} + \theta_{O,1}) \\ \\ \\ \sigma_2 = \cos(\theta_{1,2} + \theta_{2,3} + \theta_{O,1}) \\ \end{array}
```

3.2. Cinemática inversa de la posición

La idea central es, definir la cinemática inversa, como el problema de hallar los angulos de las articulaciones del robot q a partir de la postura obtenida del efector final x(q) y una meta o la postura deseada de dicho efector final x_d .

A Partir de la transformación homogénea $T(q) = \begin{bmatrix} R(q) & p(q) \\ 0 & 0 \\ 0 & 1 \end{bmatrix}$, donde el vector de posición del efector se extrae como $p = T_{1,3,4}$ y la rotación como $R = T_{1,3,13}$ para construir el vector de posición x(q) de la cinemática directa, el error surge porque:

- La postura actual del efector obtenida por la cinemática directa x(q) no coincide con la meta x_d ,
- Pueden existir ciertas singularidades en un robot planar 3R, por ejemplo, con un brazo totalmente extendido o plegado, ya que, se pierde la dirección de movimiento en el plano

Para el SCARA planar usamos el vector de postura en el plano, este será la base para evaluar el error de postura.

$$x(q) = xy\phi = p_x(q)p_y(q)\phi(q),$$

El error que queremos anular es:

$$e(q) = x_d - x(q).$$

Ahora para solucionar este error se propuso un algoritmo, donde se desarrolla una función de cálculo para la cinematica inversa; se van a necesitar diferentes argumentos, el primero es la posición inicial de las articulaciones para realizar el cálculo númerico, posteriormente la longitud de cada uno de los eslabones, el vector de posición calculado anteriormente y un tamaño de paso para el calculo numerico. Incluimos un contador, que nos permitira saber cuantas iteraciones (por medio de un while) se han realizado, asi mismo una variable q que se inicializara, y donde se almacenarán las posiciones de las articulaciones en cada ciclo de cálculo, es decir, se utilizará la matriz homogenea en cada iteración.

Por lo tanto:

- Dentro del while estará el vector de posición y se definira el error entre la posición obtenida y la posicion deseada, el ciclo while se rompe cuando el error sea menor o igual a un factor de tolerancia admisible para un valor de error.
- Entonces consideraremos que el calculo numerico es correcto, y a continuación utilizando cualquier calculo numerico de integración, como el del trapecio, calculamos la cinematica inversa.

En concreto el número de repeticiones del ciclo se define por dos cosas: el tamaño del paso que definiremos y un factor de tolerancia admisible, de acuerdo al tipo de robot que estamos utilizando, el robot SCARA. A continuación se muestra el modelo que será utilizado en el algoritmo:

MODELO DE VELOCIDADES Y JACOBIANO

La relación entre velocidades articulares y cartesianas es

$$\dot{x} = J_{\theta}(q) \, \dot{q}, \qquad J_{\theta}(q) = \frac{\partial x}{\partial q}.$$

 J_{θ} es el Jacobiano de x(q). Esta relación es la pieza clave que hace posible la cinemática inversa numérica.

El Jacobiano es la función lineal que describe cómo pequeños cambios en las articulaciones producen cambios en la postura del efector:

$$\Delta x \approx J_{\theta}(q) \Delta q$$
.

Este concepto será utilizado para mover el efector hacia la meta x_d corrigiendo las articulaciones. Sin J_{θ} no sabríamos en qué dirección mover q para reducir el error $e = x_d - x(q)$. (Extensión) Aceleraciones y control

Derivando $\dot{x} = J_{\theta} \dot{q}$ se obtiene

$$\ddot{x} = J_{\theta} \ddot{q} + \dot{J}_{\theta} \dot{q},$$

lo que se usa en planeación dinámica o control operacional.

MITIGACIÓN DEL ERROR: Damped Least Squares (DLS)

Para mover el efector hacia la meta minimizando ||e||, usamos una corrección articular tipo mínimos cuadrados amortiguados:

$$\Delta q = \underbrace{\left(J_{\theta}^{\top} J_{\theta} + \lambda^{2} I\right)^{-1} J_{\theta}^{\top}}_{J_{\lambda}^{+}} e,$$

donde $\lambda > 0$ es el **factor de amortiguamiento**. Esta regularización es clave: cerca de una singularidad J_{θ} se vuelve mal condicionado y la pseudoinversa pura amplifica el ruido; el término $\lambda^2 I$ estabiliza la inversión y evita cálculos que tiendan a infinito, produciendo pasos controlados y robustos.

INTEGRACIÓN NÚMERICA (Metódo del trapecio)

En lugar de actualizar con un solo paso de Euler, aplicamos un esquema tipo **trapecio** (Heun). Sea h > 0 el paso y $k = 0, 1, 2, \ldots$ el índice iterativo.

1. Predicción (Euler):

$$q^{\text{pred}} = q^{(k)} + h \, \Delta q^{(k)}, \qquad \Delta q^{(k)} = J_{\lambda}^{+}(q^{(k)}) \, e(q^{(k)}).$$

2. Corrección: recalculamos error y Jacobiano en q^{pred} y promediamos:

$$\Delta q^{\mathrm{corr}} = J_{\lambda}^{+} \big(q^{\mathrm{pred}} \big) \, e \big(q^{\mathrm{pred}} \big), \qquad q^{(k+1)} = q^{(k)} + \frac{h}{2} \Big(\Delta q^{(k)} + \Delta q^{\mathrm{corr}} \Big).$$

Este predictor-corrector reduce el error de linealización típico de Euler, mejora la tasa de convergencia y disminuye oscilaciones cuando el objetivo está cerca.

Además, los ángulos se normalizan con wrapToPi(·) para evitar saltos $\pm \pi$ (otra fuente de errores artificiales).

CRITERIO DE PARO

El lazo iterativo se detiene cuando

$$||e(q^{(k)})|| \le \text{tol} \quad o \quad k \ge k_{\text{máx}}.$$

En cada iteración almacenamos $q^{(k)}$ y ||e|| para graficar la convergencia y verificar que el algoritmo reduce el error hasta un valor admisible.

Con esta estrategia, el algoritmo mitiga el error porque:

- \blacksquare minimiza directamente ||e|| en el espacio de tarea,
- usa amortiguamiento para evitar inestabilidades en singularidades, y
- aplica trapecio para mejorar la precisión de cada actualización.

```
 \begin{array}{l} \mathbb{R} = \\ & \left( \cos(\theta_{1,2} + \theta_{2,3} + \theta_{0,1}) - \sin(\theta_{1,2} + \theta_{2,3} + \theta_{0,1}) & 0 \\ \sin(\theta_{1,2} + \theta_{2,3} + \theta_{0,1}) & \cos(\theta_{1,2} + \theta_{2,3} + \theta_{0,1}) & 0 \\ 0 & 0 & 1 \end{array} \right) \\ \mathbb{C} = \\ & \left( x_{0,1} + L_2 \cos(\theta_{1,2} + \theta_{0,1}) + L_1 \cos(\theta_{0,1}) + L_3 \cos(\theta_{1,2} + \theta_{2,3} + \theta_{0,1}) \\ y_{0,1} + L_2 \sin(\theta_{1,2} + \theta_{0,1}) + L_1 \sin(\theta_{0,1}) + L_3 \sin(\theta_{1,2} + \theta_{2,3} + \theta_{0,1}) \\ 0 \end{array} \right) \\ \times \mathbb{E} = \begin{bmatrix} x_{0,1} + L_2 \cos(\theta_{1,2} + \theta_{0,1}) + L_1 \cos(\theta_{0,1}) + L_3 \sin(\theta_{1,2} + \theta_{2,3} + \theta_{0,1}) \\ y_{0,1} + L_2 \sin(\theta_{1,2} + \theta_{0,1}) + L_1 \sin(\theta_{0,1}) + L_3 \sin(\theta_{1,2} + \theta_{2,3} + \theta_{0,1}) \\ y_{0,1} + L_2 \sin(\theta_{1,2} + \theta_{0,1}) + L_1 \sin(\theta_{0,1}) + L_3 \sin(\theta_{1,2} + \theta_{2,3} + \theta_{0,1}) \\ y_{0,1} + L_2 \sin(\theta_{1,2} + \theta_{0,1}) + L_1 \sin(\theta_{0,1}) + L_2 \sin(\theta_{1,2} + \theta_{0,1}) - \sigma_1 - \sigma_1 \\ L_2 \cos(\theta_{1,2} + \theta_{0,1}) + L_1 \cos(\theta_{0,1}) + \sigma_2 - L_2 \cos(\theta_{1,2} + \theta_{0,1}) + \sigma_2 - \sigma_2 \\ 1 & 1 \end{bmatrix} \\ \text{where} \\ \sigma_1 = L_3 \sin(\theta_{1,2} + \theta_{2,3} + \theta_{0,1}) \\ \sigma_2 = L_3 \cos(\theta_{1,2} + \theta_{2,3} + \theta_{0,1}) \end{aligned}
```

$$\begin{split} & \frac{-\cos(\theta_{1,2} + \theta_{0,1})}{\sigma_2} \qquad \frac{-\sin(\theta_{1,2} + \theta_{0,1})}{\sigma_2} \qquad \frac{L_3 \sigma_4 \sin(\theta_{1,2} + \theta_{0,1}) - L_3 \sigma_3 \cos(\theta_{1,2} + \theta_{0,1})}{\sigma_2} \\ & \frac{L_2 \cos(\theta_{1,2} + \theta_{0,1}) + L_1 \cos(\theta_{0,1})}{\sigma_1} \qquad \frac{L_2 \sin(\theta_{1,2} + \theta_{0,1}) + L_1 \sin(\theta_{0,1})}{\sigma_1} \qquad -\frac{L_1 L_3 \sigma_4 \sin(\theta_{0,1}) - L_1 L_3 \sigma_3 \cos(\theta_{0,1}) + L_2 L_3 \sigma_4 \sin(\theta_{1,2} + \theta_{0,1}) - L_2 L_3 \sigma_3 \cos(\theta_{1,2} + \theta_{0,1})}{\sigma_1} \\ & -\frac{\cos(\theta_{0,1})}{\sigma_6 - \sigma_5} \qquad -\frac{\sin(\theta_{0,1})}{\sigma_6 - \sigma_5} \qquad \frac{\sigma_6 - \sigma_5 + L_3 \sigma_4 \sin(\theta_{0,1}) - L_3 \sigma_3 \cos(\theta_{0,1})}{\sigma_6 - \sigma_5} \end{split}$$
 where
$$\sigma_1 = L_1 L_2 \cos(\theta_{1,2} + \theta_{0,1}) \sin(\theta_{0,1}) - L_1 L_2 \sin(\theta_{1,2} + \theta_{0,1}) \cos(\theta_{0,1})$$

$$\sigma_2 = L_1 \cos(\theta_{1,2} + \theta_{0,1}) \sin(\theta_{0,1}) - L_1 \sin(\theta_{1,2} + \theta_{0,1}) \cos(\theta_{0,1})$$

$$\sigma_3 = \sin(\theta_{1,2} + \theta_{2,3} + \theta_{0,1})$$

$$\sigma_4 = \cos(\theta_{1,2} + \theta_{2,3} + \theta_{0,1})$$

$$\sigma_5 = L_2 \sin(\theta_{1,2} + \theta_{0,1}) \cos(\theta_{0,1})$$

4. Modelado cinemático de las velocidades

 $\sigma_6 = L_2 \cos(\theta_{1,2} + \theta_{O,1}) \sin(\theta_{O,1})$

Para un SCARA planar (tres juntas rotacionales en el plano), la idea es relacionar cómo se mueven las **articu**laciones con cómo se mueve el **efector final** (x, y, ϕ) . Se determina a los ángulos de las juntas y sus velocidades:

$$q = \theta_1 \theta_2 \theta_3^\top, \qquad \dot{q} = \dot{\theta}_1 \dot{\theta}_2 \dot{\theta}_3^\top,$$

El estado del efector es:

$$x = xy\phi^{\mathsf{T}}, \qquad \dot{x} = \dot{x}\dot{y}\dot{\phi}^{\mathsf{T}}.$$

4.1. Cinemática directa de velocidades.

Primero se arma la cinemática directa de posición x(q) con las longitudes L_1, L_2, L_3 . Al derivar respecto al tiempo aparece el **Jacobiano**

$$J_{\theta}(q) = \frac{\partial x}{\partial q}.$$

La ecuación clave es

$$\dot{x} = J_{\theta}(q) \, \dot{q} \; .$$

Esto dice que si conozco las velocidades de las juntas, puedo calcular directamente la velocidad del efector final con una multiplicación matriz-vector. En el SCARA, la tercera fila de J_{θ} suele ser 111, así que

$$\dot{\phi} = \dot{\theta}_1 + \dot{\theta}_2 + \dot{\theta}_3.$$

$$\begin{split} & \text{J-theta} = \\ & \begin{pmatrix} -L_2 \sin(\theta_{1,2} + \theta_{O,1}) - L_1 \sin(\theta_{O,1}) - \sigma_1 & -L_2 \sin(\theta_{1,2} + \theta_{O,1}) - \sigma_1 & -\sigma_1 \\ L_2 \cos(\theta_{1,2} + \theta_{O,1}) + L_1 \cos(\theta_{O,1}) + \sigma_2 & L_2 \cos(\theta_{1,2} + \theta_{O,1}) + \sigma_2 & \sigma_2 \\ & 1 & 1 & 1 \end{pmatrix} \\ & \text{where} \\ & \sigma_1 = L_3 \sin(\theta_{1,2} + \theta_{2,3} + \theta_{O,1}) \\ & \sigma_2 = L_3 \cos(\theta_{1,2} + \theta_{2,3} + \theta_{O,1}) \\ \end{split}$$

4.2. Cinemática inversa de velocidades.

A veces lo que conozco es la velocidad deseada del efector \dot{x} (p. ej., "muévete hacia la derecha a 5 cm/s"), y necesito las velocidades articulares que producen ese movimiento. Idealmente,

$$\dot{q} = J_{\theta}(q)^{-1} \dot{x}$$

(si J_{θ} es cuadrada y no singular). Si J_{θ} no es cuadrada o está cerca de una singularidad, uso la **seudoinversa** (o la seudoinversa amortiguada para mayor estabilidad):

$$\dot{q} = J_{\theta}^{+} \dot{x}$$
 o $\dot{q} = (J_{\theta}^{\top} J_{\theta} + \lambda^{2} I)^{-1} J_{\theta}^{\top} \dot{x}.$

Así obtengo las velocidades de cada junta que mejor aproximan la velocidad deseada del efector.

Qué hay que cuidar. Cuando el brazo está totalmente estirado o plegado, el Jacobiano pierde "direcciones" y el sistema se vuelve sensible (singularidades). Por eso conviene usar la versión amortiguada con λ pequeño y, si hace falta, limitar las velocidades máximas de las juntas. Con esto, el modelo directo e inverso de velocidades del SCARA queda claro y listo para control por velocidad o para seguir trayectorias en el plano.

aceleraciones en un SCARA planar

Siguiendo la misma idea que con las velocidades, ahora queremos relacionar las **aceleraciones** de las juntas con la **aceleración** del efector final

$$\ddot{x} = \ddot{x}\ddot{y}\ddot{\phi}^{\top}.$$

Las variables articulares son

$$q = \theta_1 \theta_2 \theta_3^{\mathsf{T}}, \qquad \dot{q} = \dot{\theta}_1 \dot{\theta}_2 \dot{\theta}_3^{\mathsf{T}}, \qquad \ddot{q} = \ddot{\theta}_1 \ddot{\theta}_2 \ddot{\theta}_3^{\mathsf{T}}.$$

$$\begin{cases} -\frac{\cos(\theta_{1,2}+\theta_{O,1})}{\sigma_2} & -\frac{\sin(\theta_{1,2}+\theta_{O,1})}{\sigma_2} & \frac{L_3\,\sigma_4\sin(\theta_{1,2}+\theta_{O,1})-L_3\,\sigma_3\cos(\theta_{1,2}+\theta_{O,1})}{\sigma_2} \\ \frac{L_2\cos(\theta_{1,2}+\theta_{O,1})+L_1\cos(\theta_{O,1})}{\sigma_1} & \frac{L_2\sin(\theta_{1,2}+\theta_{O,1})+L_1\sin(\theta_{O,1})}{\sigma_1} & -\frac{L_1\,L_3\,\sigma_4\sin(\theta_{O,1})-L_1\,L_3\,\sigma_3\cos(\theta_{O,1})+L_2\,L_3\,\sigma_4\sin(\theta_{1,2}+\theta_{O,1})-L_2\,L_3\,\sigma_3\cos(\theta_{1,2}+\theta_{O,1})}{\sigma_1} \\ -\frac{\cos(\theta_{O,1})}{\sigma_6-\sigma_5} & -\frac{\sin(\theta_{O,1})}{\sigma_6-\sigma_5} & \frac{\sigma_6-\sigma_5+L_3\,\sigma_4\sin(\theta_{O,1})-L_3\,\sigma_3\cos(\theta_{O,1})}{\sigma_6-\sigma_5} \end{cases}$$

where

$$\begin{split} &\sigma_1 = L_1 L_2 \cos(\theta_{1,2} + \theta_{O,1}) \sin(\theta_{O,1}) - L_1 L_2 \sin(\theta_{1,2} + \theta_{O,1}) \cos(\theta_{O,1}) \\ &\sigma_2 = L_1 \cos(\theta_{1,2} + \theta_{O,1}) \sin(\theta_{O,1}) - L_1 \sin(\theta_{1,2} + \theta_{O,1}) \cos(\theta_{O,1}) \\ &\sigma_3 = \sin(\theta_{1,2} + \theta_{2,3} + \theta_{O,1}) \\ &\sigma_4 = \cos(\theta_{1,2} + \theta_{2,3} + \theta_{O,1}) \\ &\sigma_5 = L_2 \sin(\theta_{1,2} + \theta_{O,1}) \cos(\theta_{O,1}) \end{split}$$

4.3. Cálculo de las velocidades lineales

 $\sigma_6 = L_2 \cos(\theta_{1,2} + \theta_{O,1}) \sin(\theta_{O,1})$

$$\begin{array}{l} \text{V_O_C1} = \\ \left(-\dot{\theta}_{O,1} x_{1,\text{C1}} \sin(\theta_{O,1}) \right) \\ \dot{\theta}_{O,1} x_{1,\text{C1}} \cos(\theta_{O,1}) \\ \dot{\theta}_{O,1} x_{1,\text{C1}} \cos(\theta_{O,1}) \\ 0 \end{array} \right) \\ \\ \text{V_O_C2} = \\ \left(-\dot{\theta}_{O,1} \left(x_{2,\text{C2}} \sin(\theta_{1,2} + \theta_{O,1}) + L_{1} \sin(\theta_{O,1}) \right) - \dot{\theta}_{1,2} x_{2,\text{C2}} \sin(\theta_{1,2} + \theta_{O,1}) \\ \dot{\theta}_{O,1} \left(x_{2,\text{C2}} \cos(\theta_{1,2} + \theta_{O,1}) + L_{1} \cos(\theta_{O,1}) \right) + \dot{\theta}_{1,2} x_{2,\text{C2}} \cos(\theta_{1,2} + \theta_{O,1}) \\ 0 \\ \\ \text{V_O_C3} = \\ \left(-\dot{\theta}_{O,1} \left(\sigma_{1} + \sigma_{3} + L_{1} \sin(\theta_{O,1}) \right) - \dot{\theta}_{1,2} \left(\sigma_{1} + \sigma_{3} \right) - \dot{\theta}_{2,3} x_{3,\text{C3}} \sin(\theta_{1,2} + \theta_{2,3} + \theta_{O,1}) \\ \dot{\theta}_{O,1} \left(\sigma_{4} + L_{1} \cos(\theta_{O,1}) + \sigma_{2} \right) + \dot{\theta}_{1,2} \left(\sigma_{4} + \sigma_{2} \right) + \dot{\theta}_{2,3} x_{3,\text{C3}} \cos(\theta_{1,2} + \theta_{2,3} + \theta_{O,1}) \\ 0 \\ \text{where} \\ \sigma_{1} = x_{3,\text{C3}} \sin(\theta_{1,2} + \theta_{2,3} + \theta_{O,1}) \\ \sigma_{2} = x_{3,\text{C3}} \cos(\theta_{1,2} + \theta_{2,3} + \theta_{O,1}) \\ \sigma_{3} = L_{2} \sin(\theta_{1,2} + \theta_{O,1}) \\ \sigma_{4} = L_{2} \cos(\theta_{1,2} + \theta_{O,1}) \\ \end{array}$$

4.4. Cálculo de las velocidades angulares

```
omega_1_1 = \omega_{1,1}
omega_0_0 = 3×1
          0
         0
n_1_1 = 3 \times 1
        0
         0
         1
R_0_1 =
\left(\cos(\theta_{O,1}) - \sin(\theta_{O,1}) 0\right)
 sin(\theta_{O,1}) cos(\theta_{O,1}) 0
0 0
R_1_0 =
\cos(\theta_{O,1}) \sin(\theta_{O,1}) = 0
 -\sin(\theta_{O,1}) \cos(\theta_{O,1}) = 0
0
                  0
omega_1_1 =
 (0)
 0
(\dot{\theta}_{0,1})
omega_2_2 = \omega_{2,2}
n_2_2 = 3×1
          0
R_1_2 =
\left(\cos(\theta_{1,2}) - \sin(\theta_{1,2}) 0\right)
 \sin(\theta_{1,2}) \quad \cos(\theta_{1,2}) \quad 0
 \begin{pmatrix} 0 & 0 & 1 \end{pmatrix}
```

$$\begin{array}{lll} \text{R}_2_1 &= \\ & \cos(\theta_{1,2}) & \sin(\theta_{1,2}) & 0 \\ & -\sin(\theta_{1,2}) & \cos(\theta_{1,2}) & 0 \\ & 0 & 0 & 1 \\ \end{array}$$

$$\begin{array}{lll} \text{Omega}_2_2 &= \\ & \begin{pmatrix} 0 \\ 0 \\ \dot{\theta}_{1,2} + \dot{\theta}_{O,1} \\ \end{pmatrix}$$

$$\begin{array}{lll} \text{Omega}_3_3 &= & \omega_{3,3} \\ \text{Omega}_3_3 &= & \omega_{3,3} \\ \end{array}$$

$$\begin{array}{lll} \text{R}_2_3 &= \\ & \begin{pmatrix} \cos(\theta_{2,3}) & -\sin(\theta_{2,3}) & 0 \\ & \vdots & \vdots & \vdots \\ & 0 & 0 & 1 \\ \end{pmatrix}$$

$$\begin{array}{lll} \text{R}_2_3 &= \\ & \cos(\theta_{2,3}) & -\sin(\theta_{2,3}) & 0 \\ & \vdots & \vdots & \vdots & \vdots \\ & 0 & 0 & 1 \\ \end{array}$$

$$\begin{array}{lll} \text{R}_3_2 &= \\ & \cos(\theta_{2,3}) & \sin(\theta_{2,3}) & 0 \\ & -\sin(\theta_{2,3}) & \cos(\theta_{2,3}) & 0 \\ & 0 & 0 & 1 \\ \end{array}$$

$$\begin{array}{lll} \text{Omega}_3_3 &= \\ & \begin{pmatrix} 0 \\ & 0 \\ & \vdots \\ & 0 \\ & & \vdots \\ & & & \\ \end{array}$$

$$\begin{array}{lll} \theta_{1,2} + \dot{\theta}_{2,3} + \dot{\theta}_{O,1} \\ \end{array}$$

$$\begin{array}{l} v_{-0} = \\ -\dot{\theta}_{O,1} \left(\sigma_{1} + \sigma_{3} + L_{1} \sin(\theta_{O,1}) \right) - \dot{\theta}_{1,2} \left(\sigma_{1} + \sigma_{3} \right) - \dot{\theta}_{2,3} \, x_{3,C3} \sin(\theta_{1,2} + \theta_{2,3} + \theta_{O,1}) \\ \dot{\theta}_{O,1} \left(\sigma_{4} + L_{1} \cos(\theta_{O,1}) + \sigma_{2} \right) + \dot{\theta}_{1,2} \left(\sigma_{4} + \sigma_{2} \right) + \dot{\theta}_{2,3} \, x_{3,C3} \cos(\theta_{1,2} + \theta_{2,3} + \theta_{O,1}) \\ 0 \\ \end{array}$$
 where
$$\sigma_{1} = x_{3,C3} \sin(\theta_{1,2} + \theta_{2,3} + \theta_{O,1})$$

$$\sigma_{2} = x_{3,C3} \cos(\theta_{1,2} + \theta_{2,3} + \theta_{O,1})$$

$$\sigma_{3} = L_{2} \sin(\theta_{1,2} + \theta_{O,1})$$

$$\sigma_{4} = L_{2} \cos(\theta_{1,2} + \theta_{O,1})$$

5. Modelado cinemático de las aceleraciones

5.1. Cinemática directa de las aceleraciones

Partimos de la relación de velocidades

$$\dot{x} = J_{\theta}(q) \, \dot{q}.$$

Si derivamos otra vez con respecto al tiempo, aparece el término extra por el cambio del Jacobiano:

$$\ddot{x} = J_{\theta}(q) \ddot{q} + \dot{J}_{\theta}(q, \dot{q}) \dot{q} .$$

- $J_{\theta}(q)$ es el Jacobiano (el mismo de las velocidades).
- \dot{J}_{θ} es la **derivada temporal** del Jacobiano. Recoge efectos tipo "curvatura" (Coriolis/centrífugos) porque el Jacobiano cambia cuando el robot se mueve.

En el SCARA planar suele pasar que la tercera fila del Jacobiano es 111; entonces

$$\ddot{\phi} = \ddot{\theta}_1 + \ddot{\theta}_2 + \ddot{\theta}_3,$$

y en esa fila \dot{J}_{θ} es cero (porque esa fila no depende de q).

```
 \begin{aligned} & \text{Joot } = \\ & \left( -\sigma_1 - \operatorname{qk}_1 \; (\sigma_4 + L_1 \cos(\theta_{O,1}) + L_3 \, \sigma_3) - L_3 \, \operatorname{qk}_3 \, \sigma_3 \right. \\ & -\operatorname{qk}_1 \; (\sigma_4 + L_3 \sin(\theta_{O,1}) + L_3 \, \sigma_3) - \sigma_2 - L_3 \, \operatorname{qk}_3 \, \sigma_3 \\ & -\operatorname{qk}_1 \; (\sigma_6 + L_3 \sin(\theta_{O,1}) + L_3 \, \sigma_5) - \sigma_2 - L_3 \, \operatorname{qk}_3 \, \sigma_5 \right. \\ & -\operatorname{qk}_1 \; (\sigma_6 + L_3 \, \sigma_5) - \sigma_2 - L_3 \, \operatorname{qk}_3 \, \sigma_5 \right. \\ & \left. -\operatorname{qk}_1 \; (\sigma_6 + L_3 \, \sigma_5) - \sigma_2 - L_3 \, \operatorname{qk}_3 \, \sigma_5 \right. \\ & \left. -\operatorname{qk}_1 \; (\sigma_6 + L_3 \, \sigma_5) - \sigma_2 - L_3 \, \operatorname{qk}_3 \, \sigma_5 \right. \\ & \left. -\operatorname{l}_3 \, \sigma_5 \; (\operatorname{qk}_1 + \operatorname{qk}_2 + \operatorname{qk}_3) \right. \\ & \left. -\operatorname{l}_3 \, \sigma_5 \; (\operatorname{qk}_1 + \operatorname{qk}_2 + \operatorname{qk}_3) \right. \\ & \left. -\operatorname{l}_3 \, \sigma_5 \; (\operatorname{qk}_1 + \operatorname{qk}_2 + \operatorname{qk}_3) \right. \\ & \left. -\operatorname{l}_3 \, \sigma_5 \; (\operatorname{qk}_1 + \operatorname{qk}_2 + \operatorname{qk}_3) \right. \\ & \left. -\operatorname{l}_3 \, \sigma_5 \; (\operatorname{qk}_1 + \operatorname{qk}_2 + \operatorname{qk}_3) \right. \\ & \left. -\operatorname{l}_3 \, \sigma_5 \; (\operatorname{qk}_1 + \operatorname{qk}_2 + \operatorname{qk}_3) \right. \\ & \left. -\operatorname{l}_3 \, \sigma_5 \; (\operatorname{qk}_1 + \operatorname{qk}_2 + \operatorname{qk}_3) \right. \\ & \left. -\operatorname{l}_3 \, \sigma_5 \; (\operatorname{qk}_1 + \operatorname{qk}_2 + \operatorname{qk}_3) \right. \\ & \left. -\operatorname{l}_3 \, \sigma_5 \; (\operatorname{qk}_1 + \operatorname{qk}_2 + \operatorname{qk}_3) \right. \\ & \left. -\operatorname{l}_3 \, \sigma_5 \; (\operatorname{qk}_1 + \operatorname{qk}_2 + \operatorname{qk}_3) \right. \\ & \left. -\operatorname{l}_3 \, \sigma_5 \; (\operatorname{qk}_1 + \operatorname{qk}_2 + \operatorname{qk}_3) \right. \\ & \left. -\operatorname{l}_3 \, \sigma_5 \; (\operatorname{qk}_1 + \operatorname{l}_3 \, \sigma_5) \right. \\ & \left. -\operatorname{l}_3 \, \sigma_5 \; (\operatorname{qk}_1 + \operatorname{l}_3 \, \sigma_5) \right. \\ & \left. -\operatorname{l}_3 \, \sigma_5 \; (\operatorname{qk}_1 + \operatorname{l}_3 \, \sigma_5) \right. \\ & \left. -\operatorname{l}_3 \, \sigma_5 \; (\operatorname{qk}_1 + \operatorname{l}_3 \, \sigma_5) \right. \\ & \left. -\operatorname{l}_3 \, \sigma_5 \; (\operatorname{qk}_1 + \operatorname{l}_3 \, \sigma_5) \right. \\ & \left. -\operatorname{l}_3 \, \sigma_5 \; (\operatorname{qk}_1 + \operatorname{l}_3 \, \sigma_5) \right. \\ & \left. -\operatorname{l}_3 \, \sigma_5 \; (\operatorname{qk}_1 + \operatorname{l}_3 \, \sigma_5) \right. \\ & \left. -\operatorname{l}_3 \, \sigma_5 \; (\operatorname{qk}_1 + \operatorname{l}_3 \, \sigma_5) \right. \\ & \left. -\operatorname{l}_3 \, \sigma_5 \; (\operatorname{qk}_1 + \operatorname{l}_3 \, \sigma_5) \right. \\ & \left. -\operatorname{l}_3 \, (\operatorname{qk}_1 + \operatorname{l}_3 \, \sigma_5) \right. \\ & \left. -\operatorname{l}_3 \, (\operatorname{qk}_1 + \operatorname{l}_3 \, \sigma_5) \right. \\ & \left. -\operatorname{l}_3 \, (\operatorname{qk}_1 + \operatorname{l}_3 \, \sigma_5) \right. \\ & \left. -\operatorname{l}_3 \, (\operatorname{qk}_1 + \operatorname{l}_3 \, \sigma_5) \right. \\ & \left. -\operatorname{l}_3 \, (\operatorname{qk}_1 + \operatorname{l}_3 \, \sigma_5) \right. \\ & \left. -\operatorname{l}_3 \, (\operatorname{qk}_1 + \operatorname{l}_3 \, \sigma_5) \right. \\ & \left. -\operatorname{l}_3 \, (\operatorname{qk}_1 + \operatorname{l}_3 \, \sigma_5) \right. \\ & \left. -\operatorname{l}_3 \, (\operatorname{qk}_1 + \operatorname{l}_3 \, \sigma_5) \right. \\ & \left. -\operatorname{l}_3 \, (\operatorname{qk}_1 + \operatorname{l}_3 \, \sigma_5) \right. \\ & \left. -\operatorname{l}_3 \, (\operatorname{qk}_1 + \operatorname{l}_3 \, \sigma_5) \right. \\ & \left. -\operatorname{l}_3 \, (\operatorname{qk}_1 + \operatorname{l}_3 \, \sigma_5) \right. \\ & \left. -\operatorname{l}_3 \,
```

5.2. Cinemática inversa de las aceleraciones

Ahora el objetivo es el contrario: si conozco la aceleración deseada del efector \ddot{x} y también las velocidades actuales \dot{q} , ¿qué aceleraciones articulares \ddot{q} debo aplicar?

Reordenamos la fórmula directa:

$$\ddot{q} = J_{\theta}(q)^{-1} \Big(\ddot{x} - \dot{J}_{\theta}(q, \dot{q}) \, \dot{q} \Big) \quad (si$$

 J_{θ} es cuadrada e invertible).

Si estamos cerca de una singularidad (brazo muy estirado o plegado) es mejor usar una versión estable con seudoinversa amortiguada:

$$\ddot{q} = \left(J_{\theta}^{\top} J_{\theta} + \lambda^2 I\right)^{-1} J_{\theta}^{\top} \left(\ddot{x} - \dot{J}_{\theta} \, \dot{q}\right),\,$$

donde $\lambda>0$ es pequeño. Esta forma reduce explosiones numéricas y hace el cálculo más robusto.

```
 \begin{cases} \frac{\mathrm{qk_1}\cos(\theta_{0,1})+2\,\mathrm{qk_2}\cos(\theta_{0,1})-\mathrm{qk_1}\cos(2\,\theta_{1,2}+\theta_{0,1})}{L_1\,\sigma_2} & \frac{\mathrm{qk_1}\sin(\theta_{0,1})+2\,\mathrm{qk_2}\sin(\theta_{0,1})+2\,\mathrm{qk_2}\sin(\theta_{0,1})+2\,\mathrm{qk_2}\sin(\theta_{0,1})}{L_2\,\mathrm{qk_1}\cos(\theta_{1,2})\sin(\theta_{0,1})+L_1\,\mathrm{qk_1}\sin(\theta_{1,2})\sin(\theta_{0,1})} & -L_2\,\mathrm{qk_1}\sin(\theta_{0,1})+L_2\,\mathrm{qk_2}\sin(\theta_{0,1})-L_2\,\mathrm{qk_1}\cos(\theta_{1,2})^2\sin(\theta_{0,1})-L_1\,\mathrm{qk_1}\cos(\theta_{1,2})\sin(\theta_{0,1})} \\ -\frac{\mathrm{qk_1}\cos(\theta_{0,1})+L_2\,\mathrm{qk_2}\cos(\theta_{0,1})+L_1\,\mathrm{qk_1}\sin(\theta_{1,2})\sin(\theta_{0,1})}{L_1\,\sigma_1} & -\frac{\mathrm{qk_1}\cos(\theta_{1,2})\sin(\theta_{0,1})-L_2\,\mathrm{qk_1}\cos(\theta_{0,1})-L_2\,\mathrm{qk_1}\cos(\theta_{0,1})-L_2\,\mathrm{qk_1}\cos(\theta_{0,1})-L_2\,\mathrm{qk_1}\cos(\theta_{0,1})-L_2\,\mathrm{qk_1}\cos(\theta_{0,1})-L_2\,\mathrm{qk_1}\cos(\theta_{0,1})-L_2\,\mathrm{qk_1}\cos(\theta_{0,1})-L_2\,\mathrm{qk_1}\cos(\theta_{0,1})-L_2\,\mathrm{qk_1}\cos(\theta_{0,1})-L_2\,\mathrm{qk_1}\cos(\theta_{0,1})-L_2\,\mathrm{qk_1}\cos(\theta_{0,1})-L_2\,\mathrm{qk_1}\cos(\theta_{0,1})-L_2\,\mathrm{qk_1}\cos(\theta_{0,1})-L_2\,\mathrm{qk_1}\cos(\theta_{0,1})-L_2\,\mathrm{qk_1}\cos(\theta_{0,1})-L_2\,\mathrm{qk_1}\cos(\theta_{0,1})-L_2\,\mathrm{qk_1}\cos(\theta_{0,1})-L_2\,\mathrm{qk_1}\cos(\theta_{0,1})-L_2\,\mathrm{qk_1}\cos(\theta_{0,1})-L_2\,\mathrm{qk_1}\cos(\theta_{0,1})-L_2\,\mathrm{qk_1}\cos(\theta_{0,1})-L_2\,\mathrm{qk_1}\cos(\theta_{0,1})-L_2\,\mathrm{qk_1}\cos(\theta_{0,1})-L_2\,\mathrm{qk_1}\cos(\theta_{0,1})-L_2\,\mathrm{qk_1}\cos(\theta_{0,1})-L_2\,\mathrm{qk_1}\cos(\theta_{0,1})-L_2\,\mathrm{qk_1}\cos(\theta_{0,1})-L_2\,\mathrm{qk_1}\cos(\theta_{0,1})-L_2\,\mathrm{qk_1}\cos(\theta_{0,1})-L_2\,\mathrm{qk_1}\cos(\theta_{0,1})-L_2\,\mathrm{qk_1}\cos(\theta_{0,1})-L_2\,\mathrm{qk_1}\cos(\theta_{0,1})-L_2\,\mathrm{qk_1}\cos(\theta_{0,1})-L_2\,\mathrm{qk_1}\cos(\theta_{0,1})-L_2\,\mathrm{qk_1}\cos(\theta_{0,1})-L_2\,\mathrm{qk_1}\cos(\theta_{0,1})-L_2\,\mathrm{qk_1}\cos(\theta_{0,1})-L_2\,\mathrm{qk_1}\cos(\theta_{0,1})-L_2\,\mathrm{qk_1}\cos(\theta_{0,1})-L_2\,\mathrm{qk_1}\cos(\theta_{0,1})-L_2\,\mathrm{qk_1}\cos(\theta_{0,1})-L_2\,\mathrm{qk_1}\cos(\theta_{0,1})-L_2\,\mathrm{qk_1}\cos(\theta_{0,1})-L_2\,\mathrm{qk_1}\cos(\theta_{0,1})-L_2\,\mathrm{qk_1}\cos(\theta_{0,1})-L_2\,\mathrm{qk_1}\cos(\theta_{0,1})-L_2\,\mathrm{qk_1}\cos(\theta_{0,1})-L_2\,\mathrm{qk_1}\cos(\theta_{0,1})-L_2\,\mathrm{qk_1}\cos(\theta_{0,1})-L_2\,\mathrm{qk_1}\cos(\theta_{0,1})-L_2\,\mathrm{qk_1}\cos(\theta_{0,1})-L_2\,\mathrm{qk_1}\cos(\theta_{0,1})-L_2\,\mathrm{qk_1}\cos(\theta_{0,1})-L_2\,\mathrm{qk_1}\cos(\theta_{0,1})-L_2\,\mathrm{qk_1}\cos(\theta_{0,1})-L_2\,\mathrm{qk_1}\cos(\theta_{0,1})-L_2\,\mathrm{qk_1}\cos(\theta_{0,1})-L_2\,\mathrm{qk_1}\cos(\theta_{0,1})-L_2\,\mathrm{qk_1}\cos(\theta_{0,1})-L_2\,\mathrm{qk_1}\cos(\theta_{0,1})-L_2\,\mathrm{qk_1}\cos(\theta_{0,1})-L_2\,\mathrm{qk_1}\cos(\theta_{0,1})-L_2\,\mathrm{qk_1}\cos(\theta_{0,1})-L_2\,\mathrm{qk_1}\cos(\theta_{0,1})-L_2\,\mathrm{qk_1}\cos(\theta_{0,1})-L_2\,\mathrm{qk_1}\cos(\theta_{0,1})-L_2\,\mathrm{qk_1}\cos(\theta_{0,1})-L_2\,\mathrm{qk_1}\cos(\theta_{0,1})-L_2\,\mathrm{qk_1}\cos(\theta_{0,1})-L_2\,\mathrm{qk_1}\cos(\theta_{0,1})-L_2\,\mathrm{qk_1}\cos(\theta_{0,1})-L_2\,\mathrm{qk_1}\cos(\theta_{0,1
```

5.3. Cálculo de las aceleraciones lineales

```
 \begin{array}{l} \mathbf{e}_{,0} \subseteq \mathbf{G} = \\ & \left( -\mathbf{x}_{1,C1} \cos(\theta_{01}) \, \dot{\theta}_{01} \,^{2} - \ddot{\theta}_{01} \, \mathbf{x}_{1C1} \sin(\theta_{01}) \right) \\ & \ddot{\theta}_{01} \, \mathbf{x}_{1,C1} \cos(\theta_{01}) - \dot{\theta}_{01} \,^{2} \, \mathbf{x}_{1C1} \sin(\theta_{01}) \\ & 0 \end{array} \right) \\ & \mathbf{e}_{0} = \mathbf{x}_{2} = \mathbf{e}_{0} \\ & \left( -\dot{\theta}_{12} \left( \sigma_{01} + \dot{\theta}_{01} \, \mathbf{x}_{2C2} \cos(\theta_{12} + \theta_{01}) \right) - \ddot{\theta}_{01} \, \sigma_{1} - \dot{\theta}_{01} \, \left( \dot{\theta}_{01} \, \sigma_{1} + \sigma_{3} \right) - \ddot{\theta}_{12} \, \mathbf{x}_{2C2} \sin(\theta_{12} + \theta_{01}) \right) \\ & \mathbf{e}_{0} = \mathbf{e}_{12} \, \mathbf{e}_{2C} + \dot{\theta}_{01} \, \mathbf{x}_{2C2} \sin(\theta_{12} + \theta_{01}) - \dot{\theta}_{01} \, \left( \dot{\theta}_{01} \, \sigma_{1} + \sigma_{3} \right) + \ddot{\theta}_{12} \, \mathbf{x}_{2C2} \cos(\theta_{12} + \theta_{01}) \right) \\ & \mathbf{e}_{0} = \mathbf{e}_{12} \, \mathbf{e}_{2C} \, \sin(\theta_{12} + \theta_{01}) + L_{1} \sin(\theta_{01}) \\ & \sigma_{2} = \mathbf{x}_{2C2} \, \cos(\theta_{12} + \theta_{01}) + L_{1} \cos(\theta_{01}) \\ & \sigma_{3} = \dot{\theta}_{12} \, \mathbf{x}_{2C2} \cos(\theta_{12} + \theta_{01}) \\ & \mathbf{e}_{4} = \dot{\theta}_{12} \, \mathbf{x}_{2C2} \cos(\theta_{12} + \theta_{01}) \\ & \mathbf{e}_{2} = \dot{\theta}_{22} \, \mathbf{x}_{2C2} \cos(\theta_{12} + \theta_{01}) \\ & \mathbf{e}_{2} = \dot{\theta}_{12} \, \mathbf{x}_{2C2} \cos(\theta_{12} + \theta_{01}) \\ & \mathbf{e}_{2} = \dot{\theta}_{12} \, \mathbf{e}_{2C} \, \sin(\theta_{12} + \theta_{01}) \\ & \mathbf{e}_{3} = \dot{\theta}_{12} \, \mathbf{x}_{2C2} \cos(\theta_{12} + \theta_{01}) \\ & \mathbf{e}_{2} = \dot{\theta}_{12} \, \mathbf{x}_{2C2} \cos(\theta_{12} + \theta_{01}) \\ & \mathbf{e}_{3} = \dot{\theta}_{12} \, \mathbf{x}_{2C2} \cos(\theta_{12} + \theta_{01}) \\ & \mathbf{e}_{3} = \dot{\theta}_{12} \, \mathbf{x}_{2C2} \cos(\theta_{12} + \theta_{01}) \\ & \mathbf{e}_{4} = \dot{\theta}_{12} \, \mathbf{x}_{2C2} \cos(\theta_{12} + \theta_{01}) \\ & \mathbf{e}_{3} = \dot{\theta}_{12} \, \mathbf{x}_{2C2} \cos(\theta_{12} + \theta_{01}) \\ & \mathbf{e}_{4} = \dot{\theta}_{12} \, \mathbf{x}_{2C2} \cos(\theta_{12} + \theta_{01}) \\ & \mathbf{e}_{3} = \dot{\theta}_{12} \, \mathbf{x}_{2C2} \cos(\theta_{12} + \theta_{01}) \\ & \mathbf{e}_{3} = \dot{\theta}_{12} \, \mathbf{x}_{2C2} \cos(\theta_{12} + \theta_{01}) \\ & \mathbf{e}_{4} = \dot{\theta}_{12} \, \mathbf{x}_{2C2} \cos(\theta_{12} + \theta_{01}) \\ & \mathbf{e}_{3} = \dot{\theta}_{12} \, \mathbf{x}_{2C2} \cos(\theta_{12} + \theta_{01}) \\ & \mathbf{e}_{3} = \dot{\theta}_{12} \, \mathbf{x}_{2C3} \cos(\theta_{12} + \theta_{01}) \\ & \mathbf{e}_{3} = \dot{\theta}_{12} \, \mathbf{x}_{3C3} \, \sigma_{3} - \dot{\theta}_{01} \, \left( \dot{\theta}_{01} \, \sigma_{1} + \dot{\theta}_{23} \, \mathbf{x}_{3C3} \, \sigma_{2} \right) - \ddot{\theta}_{23} \, \left( \dot{\theta}_{12} \, \mathbf{x}_{3C3} \, \sigma_{3} + \dot{\theta}_{23} \, \mathbf{x}_{3C3} \, \sigma_{3} + \dot{\theta}_{23} \, \mathbf{x}_{3C3} \, \sigma_{7} + \dot{\theta}_{91} \, \mathbf{x}_{3C3} \, \sigma_{7} + \dot{\theta}_{91} \, \mathbf{x}_{3C3} \, \sigma_{7} + \dot{\theta}_{91} \, \mathbf{x}_{3C3} \, \sigma_{7} \right) - \dot{\theta}_{
```

5.4. Cálculo de las aceleraciones angulares

6. Construcción del modelo dinámico

1) DATOS POR ESLABÓN

- \blacksquare Masa m_i y tensor de inercia en el centro de masa I_{C_i} (en tus celdas: I_C1, I_C2, I_C3),
- Centro de masa respecto al marco base p_{O,C_i} ,
- \blacksquare Velocidades v_{O,C_i} y velocidades angulares $\omega_i,$
- Gravedad como vector fijo $g_v = 0 g0^{\mathsf{T}}$ para el plano.
- 2. Energía cinética (por cuerpo):

$$K_i = 12 \, m_i \, v_{O,C_i}^{\top} v_{O,C_i} + 12 \, \omega_i^{\top} I_{C_i} \omega_i$$

(en tus celdas: k_1 , k_2 , k_3).

3. Energía potencial (por gravedad):

$$U_i = m_i \, g_v^\top p_{O,C_i}$$

(en tus celdas: u_1 , u_2 , u_3).

4. Lagrangiano del robot:

$$L(q,\dot{q}) = K - U = \sum_{i} K_i - \sum_{i} U_i$$

(variable La o L).

5. Ecuaciones de Lagrange (una por junta):

$$\tau = \frac{d}{dt} \left(\frac{\partial L}{\partial \dot{q}} \right) - \frac{\partial L}{\partial q}.$$

Se determina que $\frac{\partial L}{\partial \dot{q}}$ (p. ej. D_theta1), se hace la derivada total y se resta $\frac{\partial L}{\partial q}$. El resultado es el **modelo dinámico** compacto:

$$\tau = M(q) \ddot{q} + C(q, \dot{q}) \dot{q} + g(q)$$

donde:

- M(q) =matriz de inercia (simétrica y definida positiva),
- $C(q,\dot{q})\dot{q} =$ términos de Coriolis/centrífugos (cuadráticos en \dot{q}),
- g(q) =término gravitatorio.

En el notebook puedes extraerlos como:

$$M(q) = \frac{\partial \tau}{\partial \ddot{q}}, \qquad g(q) = \tau\big|_{\ddot{q}=0,\ \dot{q}=0}, \qquad C(q,\dot{q})\dot{q} = \tau\big|_{\ddot{q}=0} - g(q).$$

$$\begin{pmatrix} -\dot{\theta}_{O,1}x_{1,C1}\sin(\theta_{O,1}) \\ \dot{\theta}_{O,1}x_{1,C1}\cos(\theta_{O,1}) \\ 0 \end{pmatrix}$$

$$v_{-0} = 2 = 2$$

$$\begin{pmatrix} -\dot{\theta}_{O,1}\left(x_{2,C2}\sin(\theta_{1,2}+\theta_{O,1}) + L_{1}\sin(\theta_{O,1})\right) - \dot{\theta}_{1,2}x_{2,C2}\sin(\theta_{1,2}+\theta_{O,1}) \\ \dot{\theta}_{O,1}\left(x_{2,C2}\cos(\theta_{1,2}+\theta_{O,1}) + L_{1}\cos(\theta_{O,1})\right) + \dot{\theta}_{1,2}x_{2,C2}\cos(\theta_{1,2}+\theta_{O,1}) \\ 0 \end{pmatrix}$$

$$v_{-0} = 3 = 2$$

$$\begin{pmatrix} -\dot{\theta}_{O,1}\left(\sigma_{1}+\sigma_{3}+L_{1}\sin(\theta_{O,1})\right) - \dot{\theta}_{1,2}\left(\sigma_{1}+\sigma_{3}\right) - \dot{\theta}_{2,3}x_{3,C3}\sin(\theta_{1,2}+\theta_{2,3}+\theta_{O,1}) \\ \dot{\theta}_{O,1}\left(\sigma_{4}+L_{1}\cos(\theta_{O,1}) + \sigma_{2}\right) + \dot{\theta}_{1,2}\left(\sigma_{4}+\sigma_{2}\right) + \dot{\theta}_{2,3}x_{3,C3}\cos(\theta_{1,2}+\theta_{2,3}+\theta_{O,1}) \\ 0 \end{pmatrix}$$
 where
$$\sigma_{1} = x_{3,C3}\sin(\theta_{1,2}+\theta_{2,3}+\theta_{O,1})$$

$$\sigma_{2} = x_{3,C3}\cos(\theta_{1,2}+\theta_{2,3}+\theta_{O,1})$$

$$\sigma_{3} = L_{2}\sin(\theta_{1,2}+\theta_{2,3}+\theta_{O,1})$$

$$\sigma_{4} = L_{2}\cos(\theta_{1,2}+\theta_{O,1})$$

$$\sigma_{6} = L_{2}\cos(\theta_{1,2}+\theta_{O,1})$$

$$\sigma_{9} = 0$$

$$\theta = 0$$

$$\begin{array}{l} \text{R_O_1} = \\ \left(\cos(\theta_{O,1}) - \sin(\theta_{O,1}) & 0 \\ \sin(\theta_{O,1}) & \cos(\theta_{O,1}) & 0 \\ 0 & 0 & 1 \right) \\ \text{R_1_O} = \\ \left(\cos(\theta_{O,1}) & \sin(\theta_{O,1}) & 0 \\ -\sin(\theta_{O,1}) & \cos(\theta_{O,1}) & 0 \\ 0 & 0 & 1 \right) \\ \text{omega_1_1} = \\ \left(\begin{array}{c} 0 \\ 0 \\ \dot{\theta}_{O,1} \right) \\ \text{omega_2_2} = \omega_{2,2} \\ \text{n_2_2} = 3 \times 1 \\ 0 \\ 0 \\ 1 \\ \end{array} \right. \\ \text{R_1_2} = \\ \left(\begin{array}{c} \cos(\theta_{1,2}) & -\sin(\theta_{1,2}) & 0 \\ \sin(\theta_{1,2}) & \cos(\theta_{1,2}) & 0 \\ 0 & 0 & 1 \right) \\ \text{R_2_1} = \\ \left(\begin{array}{c} \cos(\theta_{1,2}) & \sin(\theta_{1,2}) & 0 \\ -\sin(\theta_{1,2}) & \cos(\theta_{1,2}) & 0 \\ 0 & 0 & 1 \right) \\ \text{omega_2_2} = \\ \left(\begin{array}{c} 0 \\ 0 \\ 0 \\ \end{array} \right) \\ \text{omega_2_2} = \\ \left(\begin{array}{c} 0 \\ 0 \\ 0 \\ \end{array} \right) \\ \text{omega_2_2} = \\ \left(\begin{array}{c} 0 \\ 0 \\ \end{array} \right) \\ \text{omega_2_2} = \\ \left(\begin{array}{c} 0 \\ 0 \\ \end{array} \right) \\ \text{omega_2_2} = \\ \left(\begin{array}{c} 0 \\ 0 \\ \end{array} \right) \\ \text{omega_2_2} = \\ \left(\begin{array}{c} 0 \\ 0 \\ \end{array} \right) \\ \text{omega_2_2} = \\ \left(\begin{array}{c} 0 \\ 0 \\ \end{array} \right) \\ \text{omega_2_2} = \\ \left(\begin{array}{c} 0 \\ 0 \\ \end{array} \right) \\ \text{omega_2_2} = \\ \left(\begin{array}{c} 0 \\ 0 \\ \end{array} \right) \\ \text{omega_2_2} = \\ \left(\begin{array}{c} 0 \\ 0 \\ \end{array} \right) \\ \text{omega_2_2} = \\ \left(\begin{array}{c} 0 \\ 0 \\ \end{array} \right) \\ \text{omega_2_1} \\ \text{omega_2_2} = \\ \left(\begin{array}{c} 0 \\ 0 \\ \end{array} \right) \\ \text{omega_2_2} = \\ \left(\begin{array}{c} 0 \\ 0 \\ \end{array} \right) \\ \text{omega_2_2} = \\ \left(\begin{array}{c} 0 \\ 0 \\ \end{array} \right) \\ \text{omega_2_1} \\ \text{omega_2_2} = \\ \left(\begin{array}{c} 0 \\ 0 \\ \end{array} \right) \\ \text{omega_2_2} \\ \text{omega_2_2} = \\ \left(\begin{array}{c} 0 \\ 0 \\ \end{array} \right) \\ \text{omega_2_2} \\ \text{omega_3_2} \\ \text{omega_3_3} \\ \text$$

6.1. Dinámica directa

Problema: dados los torques τ (y el estado actual q, \dot{q}), ¿qué **aceleraciones articulares** \ddot{q} produce el robot? Se despeja \ddot{q} :

$$\ddot{q} = M(q)^{-1} (\tau - C(q, \dot{q}) \, \dot{q} - g(q))$$

Esto es dinámica directa. Con \ddot{q} se simula integrando:

$$\dot{q}_{k+1} = \dot{q}_k + \ddot{q}_k \, \Delta t, \qquad q_{k+1} = q_k + \dot{q}_{k+1} \, \Delta t.$$

Se usa en simulación, validación de controladores y para estudiar la respuesta del SCARA ante distintas señales de torque.

4) ¿CUÁNDO USO CADA UNA?

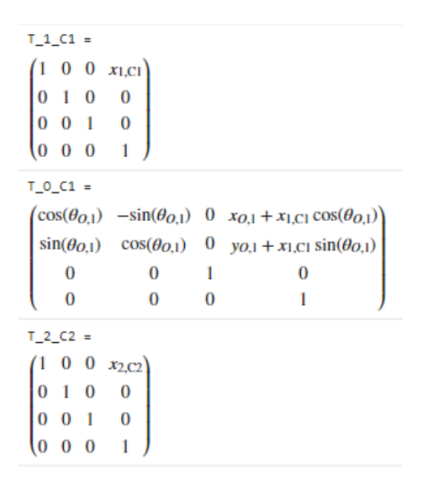
- Dinámica inversa: cuando ya tengo $q(t), \dot{q}(t), \ddot{q}(t)$ y necesito qué torque aplicar. Ideal para feedforward/seguimiento.
- Dinámica directa: cuando conozco el torque τ (p. ej., una ley de control) y quiero predecir el movimiento integrando \ddot{q} .

"Inversa":
$$\tau = M \ddot{q} + C \dot{q} + g$$
, "Directa": $\ddot{q} = M^{-1}(\tau - C \dot{q} - g)$.

6.2. Modelo dinámico por ecuaciones de Eüler-Lagrange

$$\begin{array}{l} \text{V_C1_C1} = \\ \begin{pmatrix} 0 \\ \dot{\theta}_{O,1}x_{1,\text{C1}} \\ 0 \end{pmatrix} \\ \\ \text{V_O_C1} = \\ \begin{pmatrix} -\dot{\theta}_{O,1}x_{1,\text{C1}}\sin(\theta_{O,1}) \\ \dot{\theta}_{O,1}x_{1,\text{C1}}\cos(\theta_{O,1}) \\ 0 \end{pmatrix} \\ \\ \text{ans} = \\ \dot{\theta}_{O,1}^2x_{1,\text{C1}}^2 \\ \\ \text{ans} = \\ \dot{\theta}_{O,1}^2x_{1,\text{C1}}^2 \end{array}$$

6.3. Cálculo de la posición de los centros de masa



$$\begin{pmatrix} \sigma_1 & -\cos(\theta_{1,2})\sin(\theta_{O,1}) - \cos(\theta_{O,1})\sin(\theta_{1,2}) & 0 & x_{O,1} + x_{2,C2} \, \sigma_1 + L_1 \cos(\theta_{O,1}) \\ \sigma_2 & \sigma_1 & 0 & y_{O,1} + x_{2,C2} \, \sigma_2 + L_1 \sin(\theta_{O,1}) \\ 0 & 0 & 1 & 0 \\ 0 & 0 & 0 & 1 \end{pmatrix}$$

where

$$\sigma_1 = \cos(\theta_{1,2})\cos(\theta_{O,1}) - \sin(\theta_{1,2})\sin(\theta_{O,1})$$

$$\sigma_2 = \cos(\theta_{1,2})\sin(\theta_{O,1}) + \cos(\theta_{O,1})\sin(\theta_{1,2})$$

T_0_C3 =

$$\begin{pmatrix} \sigma_1 & -\cos(\theta_{2,3}) \, \sigma_4 - \sin(\theta_{2,3}) \, \sigma_3 & 0 & x_{O,1} + L_2 \, \sigma_3 + L_1 \cos(\theta_{O,1}) + x_{3,C3} \, \sigma_1 \\ \sigma_2 & \sigma_1 & 0 & y_{O,1} + L_2 \, \sigma_4 + L_1 \sin(\theta_{O,1}) + x_{3,C3} \, \sigma_2 \\ 0 & 0 & 1 & 0 \\ 0 & 0 & 0 & 1 \end{pmatrix}$$

where

$$\sigma_1 = \cos(\theta_{2,3}) \, \sigma_3 - \sin(\theta_{2,3}) \, \sigma_4$$

$$\sigma_2 = \cos(\theta_{2,3}) \, \sigma_4 + \sin(\theta_{2,3}) \, \sigma_3$$

$$\sigma_3 = \cos(\theta_{1,2})\cos(\theta_{O,1}) - \sin(\theta_{1,2})\sin(\theta_{O,1})$$

$$\sigma_4 = \cos(\theta_{1,2})\sin(\theta_{O,1}) + \cos(\theta_{O,1})\sin(\theta_{1,2})$$

$$p_{-0} = \begin{cases} x_{O,1} + x_{1,C1} \cos(\theta_{O,1}) \\ y_{O,1} + x_{1,C1} \sin(\theta_{O,1}) \\ 0 \end{cases}$$

p_0_C2 =

$$\begin{pmatrix} x_{O,1} + x_{2,C2}\cos(\theta_{1,2} + \theta_{O,1}) + L_1\cos(\theta_{O,1}) \\ y_{O,1} + x_{2,C2}\sin(\theta_{1,2} + \theta_{O,1}) + L_1\sin(\theta_{O,1}) \\ 0 \end{pmatrix}$$

p 0 C3 :

$$\begin{pmatrix} x_{O,1} + L_2 \cos(\theta_{1,2} + \theta_{O,1}) + L_1 \cos(\theta_{O,1}) + x_{3,C3} \cos(\theta_{1,2} + \theta_{2,3} + \theta_{O,1}) \\ y_{O,1} + x_{3,C3} \sin(\theta_{1,2} + \theta_{2,3} + \theta_{O,1}) + L_2 \sin(\theta_{1,2} + \theta_{O,1}) + L_1 \sin(\theta_{O,1}) \\ 0 \end{pmatrix}$$

6.4. Definición de los elementos de inercia

```
 \begin{array}{c} \mathbb{E}_{V} = \\ \begin{pmatrix} 0 \\ -g \\ 0 \end{pmatrix} \\ \\ \mathbb{I}_{C} \mathbb{I} = \\ \begin{pmatrix} I_{xx1} & 0 & 0 \\ 0 & I_{yy1} & 0 \\ 0 & 0 & I_{zz1} \end{pmatrix} \\ \\ \mathbb{I}_{C} \mathbb{I}_{C} \mathbb{I}_{C} = \\ \begin{pmatrix} I_{xx2} & 0 & 0 \\ 0 & I_{yy2} & 0 \\ 0 & 0 & I_{zz2} \end{pmatrix} \\ \\ \mathbb{I}_{C} \mathbb{I}_{C} \mathbb{I}_{C} \mathbb{I}_{C} = \\ \begin{pmatrix} I_{xx3} & 0 & 0 \\ 0 & I_{yy3} & 0 \\ 0 & 0 & I_{zz3} \end{pmatrix} \\ \\ \mathbb{I}_{C} \mathbb{I}_{C} \mathbb{I}_{C} \mathbb{I}_{C} = \\ \begin{pmatrix} I_{xx3} & 0 & 0 \\ 0 & I_{yy3} & 0 \\ 0 & 0 & I_{zz3} \end{pmatrix} \\ \\ \mathbb{I}_{C} \mathbb{I}_{C} \mathbb{I}_{C} \mathbb{I}_{C} = \\ \begin{pmatrix} I_{xx3} & 0 & 0 \\ 0 & I_{yy3} & 0 \\ 0 & 0 & I_{zz3} \end{pmatrix} \\ \\ \mathbb{I}_{C} \mathbb{I}_{C} \mathbb{I}_{C} \mathbb{I}_{C} = \\ \begin{pmatrix} I_{xx3} & 0 & 0 \\ 0 & I_{yy3} & 0 \\ 0 & 0 & I_{zz3} \end{pmatrix} \\ \\ \mathbb{I}_{C} \mathbb{I}_{C} \mathbb{I}_{C} \mathbb{I}_{C} = \\ \begin{pmatrix} I_{xx3} & 0 & 0 \\ 0 & I_{yy3} & 0 \\ 0 & 0 & I_{zz3} \end{pmatrix} \\ \\ \mathbb{I}_{C} \mathbb{I}_{C} \mathbb{I}_{C} = \\ \mathbb{I}_{C} \mathbb{I}_{C} \mathbb{I}_{C} = \\ \mathbb{I}
```

6.5. Cálculo de Lagrangiano

 $\sigma_4 = \cos(\theta_{1,2} + \theta_{2,3} + \theta_{0,1})$

```
k_1 =
\frac{\dot{\theta}_{O,1}^{2} \left(m_{1} x_{1,\text{Cl}}^{2} + I_{zz1}\right)}{2}
k_2 =
\frac{m_{2}L_{1}^{2}\dot{\theta}_{O,1}^{2}}{2} + m_{2}\cos(\theta_{1,2})L_{1}\dot{\theta}_{1,2}\dot{\theta}_{O,1}x_{2,C2} + m_{2}\cos(\theta_{1,2})L_{1}\dot{\theta}_{O,1}^{2}x_{2,C2} + \frac{m_{2}\dot{\theta}_{1,2}^{2}x_{2,C2}^{2}}{2} + \frac{I_{zz2}\dot{\theta}_{1,2}^{2}}{2} + m_{2}\dot{\theta}_{1,2}\dot{\theta}_{O,1}x_{2,C2}^{2} + I_{zz2}\dot{\theta}_{1,2}\dot{\theta}_{O,1} + \frac{m_{2}\dot{\theta}_{O,1}^{2}x_{2,C2}^{2}}{2} + I_{zz2}\dot{\theta}_{0,1}^{2}x_{2,C2}^{2} + I_{zz2}\dot{\theta}_{1,2}\dot{\theta}_{O,1}x_{2,C2}^{2} + I_{zz2}\dot{\theta}_{1,2}\dot{\theta}_{O,1} + \frac{m_{2}\dot{\theta}_{O,1}^{2}x_{2,C2}^{2}}{2} + I_{zz2}\dot{\theta}_{1,2}\dot{\theta}_{O,1}^{2}x_{2,C2}^{2} + I_{zz2}\dot{\theta}_{1,2}\dot{\theta}_{1,2}\dot{\theta}_{1,2}^{2}x_{2,C2}^{2} + I_{zz2}\dot{\theta}_{1,2}\dot{\theta}_{1,2}^{2}x_{2,C2}^{2} + I_{zz2}\dot{
  \frac{m_3 \left(\dot{\theta}_{0,1} \left(\sigma_2 + L_1 \cos(\theta_{0,1}) + x_{3,C3} \, \sigma_4\right) + \dot{\theta}_{1,2} \left(\sigma_2 + x_{3,C3} \, \sigma_4\right) + \dot{\theta}_{2,3} \, x_{3,C3} \, \sigma_4\right)^2}{2} + \frac{m_3 \left(\dot{\theta}_{0,1} \left(x_{3,C3} \, \sigma_3 + \sigma_1 + L_1 \sin(\theta_{0,1})\right) + \dot{\theta}_{1,2} \left(x_{3,C3} \, \sigma_3 + \sigma_1\right) + \dot{\theta}_{2,3} \, x_{3,C3} \, \sigma_3\right)^2}{2} + I_{zz3} \left(\dot{\theta}_{1,2} + \dot{\theta}_{2,3} + \dot{\theta}_{0,1}\right) \left(\frac{\dot{\theta}_{1,2}}{2} + \frac{\dot{\theta}_{2,3}}{2} + \frac{\dot{\theta}_{0,1}}{2} + \frac{\dot{\theta
     where
                 \sigma_1 = L_2 \sin(\theta_{1,2} + \theta_{O,1})
                 \sigma_2 = L_2 \cos(\theta_{1,2} + \theta_{O,1})
                 \sigma_3 = \sin(\theta_{1,2} + \theta_{2,3} + \theta_{0,1})
                 \sigma_4 = \cos(\theta_{1,2} + \theta_{2,3} + \theta_{0,1})
     \mathsf{u}_{\_1} = g \, m_1 \, \left( y_{O,1} + x_{1,\mathrm{Cl}} \sin(\theta_{O,1}) \right)
     \mathsf{u\_2} = g \, m_2 \, \left( y_{O,1} + x_{2,\text{C2}} \sin(\theta_{1,2} + \theta_{O,1}) + L_1 \sin(\theta_{O,1}) \right)
     u_{-3} = g m_3 (y_{O,1} + x_{3,C3} \sin(\theta_{1,2} + \theta_{2,3} + \theta_{O,1}) + L_2 \sin(\theta_{1,2} + \theta_{O,1}) + L_1 \sin(\theta_{O,1}))
     \frac{{I_{zz2}} \cdot {{\dot{\theta }_{1,2}}^2}}{2} + \frac{{I_{zz2}} \cdot {{\dot{\theta }_{0,1}}^2}}{2} + \frac{{\dot{\theta }_{0,1}}^2}{2} + \frac{{\dot{\theta }_{0,1}}^2 \left( {m_1 x_{1,C1}}^2 + I_{zz1} \right)}{2} + \frac{{m_3} \left( {{\dot{\theta }_{0,1}} \left( {\sigma _2} + L_1 \cos \left( {\theta _{0,1}} \right) + x_{3,C3} \, \sigma _4} \right) + {\dot{\theta }_{1,2}} \left( {\sigma _2} + x_{3,C3} \, \sigma _4} \right) + \frac{{m_3} \left( {{\dot{\theta }_{0,1}} \left( {x_{3,C3} \, \sigma _3} + \sigma _1 + L_1 \sin \left( {\theta _{0,1}} \right) \right) + {\dot{\theta }_{1,2}} \left( {x_{3,C3} \, \sigma _3} + \sigma _1} \right) + {\dot{\theta }_{2,3}} x_{3,C3} \, \sigma _3} \right)^2} - g \, m_3 \left( {y_{0,1}} + x_{3,C3} \, \sigma _4} \right) + \frac{{m_3} \left( {{\dot{\theta }_{0,1}} \left( {x_{3,C3} \, \sigma _3} + \sigma _1 + L_1 \sin \left( {\theta _{0,1}} \right) \right) + {\dot{\theta }_{1,2}} \left( {x_{3,C3} \, \sigma _3} + \sigma _1} \right) + {\dot{\theta }_{2,3}} x_{3,C3} \, \sigma _3} \right)^2} - g \, m_3 \left( {y_{0,1}} + x_{3,C3} \, \sigma _4} \right) + \frac{{m_3} \left( {{\dot{\theta }_{0,1}} \left( {x_{3,C3} \, \sigma _3} + \sigma _1 + L_1 \sin \left( {\theta _{0,1}} \right) \right) + {\dot{\theta }_{1,2}} \left( {x_{3,C3} \, \sigma _3} + \sigma _1} \right) + {\dot{\theta }_{2,3}} x_{3,C3} \, \sigma _3} \right)^2} - g \, m_3 \left( {y_{0,1}} + x_{3,C3} \, \sigma _4} \right) + \frac{{m_3} \left( {{\dot{\theta }_{0,1}} \left( {x_{3,C3} \, \sigma _3} + \sigma _1 + L_1 \sin \left( {\theta _{0,1}} \right) \right) + {\dot{\theta }_{1,2}} \left( {x_{3,C3} \, \sigma _3} + \sigma _1} \right) + {\dot{\theta }_{2,3}} x_{3,C3} \, \sigma _3} \right)^2} - g \, m_3 \left( {y_{0,1}} + x_{3,C3} \, \sigma _3} \right) + \frac{{m_3} \left( {\dot{\theta }_{0,1}} \left( {x_{3,C3} \, \sigma _3} + \sigma _1 + L_2 \sin \left( {\theta _{0,1}} \right) \right) + {\dot{\theta }_{2,3}} x_{3,C3} \, \sigma _3} \right)^2}{2} - g \, m_3 \left( {y_{0,1}} + x_{3,C3} \, \sigma _3} \right) + {\dot{\theta }_{2,3}} x_{3,C3} \, \sigma _3} \right) + \frac{{m_3} \left( {\dot{\theta }_{0,1}} \left( {x_{3,C3} \, \sigma _3} + \sigma _1 + L_2 \sin \left( {\theta _{0,1}} \right) \right) + {\dot{\theta }_{2,3}} x_{3,C3} \, \sigma _3} \right)^2}{2} - g \, m_3 \left( {y_{0,1}} + x_{3,C3} \, \sigma _3} \right) + {\dot{\theta }_{2,3}} \left( {x_{3,C3} \, \sigma _3} \right) + {\dot{\theta }_{2,3}} \left( {x_{3,C3} \, \sigma _3} \right) + {\dot{\theta }_{2,3}} \left( {x_{3,C3} \, \sigma _3} \right) + {\dot{\theta }_{2,3}} \left( {x_{3,C3} \, \sigma _3} \right) + {\dot{\theta }_{2,3}} \left( {x_{3,C3} \, \sigma _3} \right) + {\dot{\theta }_{2,3}} \left( {x_{3,C3} \, \sigma _3} \right) + {\dot{\theta }_{2,3}} \left( {x_{3,C3} \, \sigma _3} \right) + {\dot{\theta }_{2,3}} \left( {x_{3,C3} \, \sigma _3} \right) + {\dot{\theta }_{2,3}} \left( {x_{3,C3} \, \sigma _3} \right) + {\dot{\theta }_{2,3}} \left( {x_{3,C3} \, \sigma _3} \right) + {\dot{\theta }_{2,3}} \left( {x_{3,C3} \, \sigma _3} \right) + {\dot{\theta }_{2,3}} \left( {x_{3,C3} \, \sigma _3} \right) + {\dot{\theta }_{2,3}} \left( {x_{3,C3} \, \sigma _3}
        where
                    \sigma_1 = L_2 \sin(\theta_{1,2} + \theta_{O,1})
                       \sigma_2 = L_2 \cos(\theta_{1,2} + \theta_{O,1})
                       \sigma_3 = \sin(\theta_{1,2} + \theta_{2,3} + \theta_{0,1})
```

6.6. Cálculo de los pares

```
D_theta1 =
      I_{zz2}\,\dot{\theta}_{1,2} + I_{zz2}\dot{\theta}_{0,1} + \dot{\theta}_{0,1}\,\left(m_1x_{1,\text{Cl}}^2 + I_{zz1}\right) + \frac{I_{zz3}\,\left(\dot{\theta}_{1,2} + \dot{\theta}_{2,3} + \dot{\theta}_{0,1}\right)}{2} + I_{zz3}\,\left(\frac{\dot{\theta}_{1,2}}{2} + \frac{\dot{\theta}_{2,3}}{2} + \frac{\dot{\theta}_{0,1}}{2}\right) + m_2\,\dot{\theta}_{1,2}\,x_{2,\text{C2}}^2 + m_2\,\dot{\theta}_{0,1}\,x_{2,\text{C2}}^2 + m_3\,\sigma_1\,\left(\dot{\theta}_{0,1}\,\sigma_1 + \dot{\theta}_{1,2}\,\left(\sigma_3 + x_{3,\text{C3}}\,\sigma_4\right) + \dot{\theta}_{2,3}\,x_{3,\text{C3}}\,\sigma_4\right) + m_3\,\sigma_2\,\left(\dot{\theta}_{0,1}\,\sigma_2 + \dot{\theta}_{1,2}\,\left(x_{3,\text{C3}}\,\sigma_6 + \sigma_5\right) + \dot{\theta}_{2,3}\,x_{3,\text{C3}}\,\sigma_6\right) + m_3\,\sigma_2\,\left(\dot{\theta}_{0,1}\,\sigma_2 + \dot{\theta}_{1,2}\,x_{2,\text{C2}}^2 + m_2\,\dot{\theta}_{0,1}\,x_{2,\text{C2}}^2 + m_3\,\sigma_1\,\left(\dot{\theta}_{0,1}\,\sigma_1 + \dot{\theta}_{1,2}\,\left(\sigma_3 + x_{3,\text{C3}}\,\sigma_4\right) + \dot{\theta}_{2,3}\,x_{3,\text{C3}}\,\sigma_4\right) + m_3\,\sigma_2\,\left(\dot{\theta}_{0,1}\,\sigma_2 + \dot{\theta}_{1,2}\,x_{2,\text{C3}}^2 + \dot{\theta}_{2,1}\,x_{2,\text{C3}}^2 + m_2\,\dot{\theta}_{0,1}\,x_{2,\text{C2}}^2 + m_3\,\sigma_1\,\left(\dot{\theta}_{0,1}\,\sigma_1 + \dot{\theta}_{1,2}\,\left(\sigma_3 + x_{3,\text{C3}}\,\sigma_4\right) + \dot{\theta}_{2,3}\,x_{3,\text{C3}}\,\sigma_4\right) + m_3\,\sigma_2\,\left(\dot{\theta}_{0,1}\,\sigma_2 + \dot{\theta}_{1,2}\,x_{2,\text{C3}}^2 + m_2\,\dot{\theta}_{0,1}\,x_{2,\text{C2}}^2 + m_3\,\sigma_1\,\left(\dot{\theta}_{0,1}\,\sigma_1 + \dot{\theta}_{1,2}\,x_{2,\text{C3}}^2 + \dot{\theta}_{2,1}\,x_{2,\text{C3}}^2 + \dot{\theta}_{2,1}\,x_{2,\text{C3}}^2 + m_3\,\sigma_1\,\left(\dot{\theta}_{0,1}\,\sigma_1 + \dot{\theta}_{1,2}\,x_{2,\text{C3}}^2 + \dot{\theta}_{2,1}\,x_{2,\text{C3}}^2 + \dot{\theta}_{2,\text{C3}}^2 + \dot{\theta}_{2,\text{C
         where
                  \sigma_1 = \sigma_3 + L_1 \cos(\theta_{O,1}) + x_{3,C3} \sigma_4
                    \sigma_2 = x_{3,C3} \, \sigma_6 + \sigma_5 + L_1 \sin(\theta_{O,1})
                  \sigma_3 = L_2 \cos(\theta_{1,2} + \theta_{O,1})
                  \sigma_4 = \cos(\theta_{1,2} + \theta_{2,3} + \theta_{0,1})
                  \sigma_5 = L_2 \sin(\theta_{1,2} + \theta_{O,1})
                  \sigma_6 = \sin(\theta_{1,2} + \theta_{2,3} + \theta_{0,1})
\ddot{\theta}_{O,1}\left(I_{zz1} + I_{zz2} + I_{zz3} + m_3\,\sigma_5^2 + L_1^2\,m_2 + m_3\,\sigma_3^2 + m_1\,x_{1,C1}^2 + m_2\,x_{2,C2}^2 + 2\,L_1\,m_2\,x_{2,C2}\cos(\theta_{1,2})\right) - \dot{\theta}_{1,2}\left(m_3\left(\sigma_4 + \dot{\theta}_{O,1}\left(x_{3,C3}\,\sigma_7 + \sigma_8\right) + \dot{\theta}_{2,3}\,x_{3,C3}\,\sigma_7\right)\,\sigma_5 - m_3\,\sigma_3\left(\sigma_6 + \dot{\theta}_{O,1}\left(\sigma_{10} + x_{3,C3}\,\sigma_9\right) + \dot{\theta}_{2,3}\,x_{3,C3}\,\sigma_9\right) - m_3\left(\sigma_{10} + x_{3,C3}\,\sigma_9\right) + \dot{\theta}_{2,2}\,x_{3,C3}\,\sigma_9\right) + \dot{\theta}_{2,2}\,x_{3,C3}\,\sigma_9\right) + \dot{\theta}_{2,2}\,x_{3,C3}\,\sigma_9
           \sigma_1 = \dot{\theta}_{0.1} \, \sigma_3 + \sigma_4 + \dot{\theta}_{2.3} \, x_{3,C3} \, \sigma_7
           \sigma_2 = \dot{\theta}_{O,1} \, \sigma_5 + \sigma_6 + \dot{\theta}_{2,3} \, x_{3,C3} \, \sigma_9
           \sigma_3 = x_{3,\text{C3}} \, \sigma_7 + \sigma_8 + L_1 \sin(\theta_{O,1})
I_{122}\dot{\theta}_{1,2} + I_{222}\dot{\theta}_{0,1} + \frac{I_{23}\left(\dot{\theta}_{1,2} + \dot{\theta}_{2,3} + \dot{\theta}_{0,1}\right)}{2} + I_{23}\left(\frac{\dot{\theta}_{1,2} + \dot{\theta}_{2,3} + \dot{\theta}_{0,1}}{2}\right) + m_2\dot{\theta}_{1,2} + m_2\dot{\theta}_{0,1} + m_2\dot{\theta
  where
           \sigma_1 = L_2 \sin(\theta_{1,2} + \theta_{O,1})
           \sigma_2 = L_2 \cos(\theta_{1,2} + \theta_{0,1})
           \sigma_3 = \sin(\theta_{1,2} + \theta_{2,3} + \theta_{0,1})
           \sigma_4 = \cos(\theta_{1,2} + \theta_{2,3} + \theta_{0,1})
```

```
tao 2 =
      \ddot{\theta}_{1,2} \left( I_{222} + I_{223} + m_2 \cdot x_2 \cdot C_2^2 + m_3 \cdot (\sigma_{12} + x_{3,C3} \cdot \sigma_{11})^2 + m_3 \cdot (x_{3,C3} \cdot \sigma_{9} + \sigma_{10})^2 \right) \\ - \dot{\theta}_{1,2} \left( m_3 \cdot (\sigma_{12} + x_{3,C3} \cdot \sigma_{11}) \cdot \sigma_{3} - m_3 \cdot (x_{3,C3} \cdot \sigma_{9} + \sigma_{10}) \cdot \sigma_{4} - m_3 \cdot (\sigma_{12} + x_{3,C3} \cdot \sigma_{11}) \cdot \sigma_{1} + m_3 \cdot (x_{3,C3} \cdot \sigma_{9} + \sigma_{10}) \cdot \sigma_{2} + L_1 m_2 \cdot \dot{\theta}_{0,1} \cdot x_{2,C2} \cdot \sin(\theta_{1,2}) \right) \\ + \ddot{\theta}_{0,1} \left( m_2 \cdot x_{2,C2} \cdot \sigma_{10} + m_3 \cdot (x_{3,C3} \cdot \sigma_{9} + \sigma_{10}) \cdot \sigma_{2} + m_3 \cdot (x_{3,C3} \cdot \sigma_{9} + \sigma_{10}) \cdot \sigma_{2} + L_1 m_2 \cdot \dot{\theta}_{0,1} \cdot x_{2,C2} \cdot \sin(\theta_{1,2}) \right) \\ + \ddot{\theta}_{0,1} \left( m_2 \cdot x_{2,C2} \cdot \sigma_{10} + m_3 \cdot (x_{3,C3} \cdot \sigma_{9} + \sigma_{10}) \cdot \sigma_{2} + m_3 \cdot (x_{3,C3} \cdot \sigma_{9} + \sigma_{10}) \cdot \sigma_{2} + L_1 m_2 \cdot \dot{\theta}_{0,1} \cdot x_{2,C2} \cdot \sin(\theta_{1,2}) \right) \\ + \ddot{\theta}_{0,1} \left( m_2 \cdot x_{2,C3} \cdot \sigma_{10} + m_3 \cdot (x_{3,C3} \cdot \sigma_{9} + \sigma_{10}) \cdot \sigma_{2} + L_1 m_2 \cdot \dot{\theta}_{0,1} \cdot x_{2,C2} \cdot \sin(\theta_{1,2}) \right) \\ + \ddot{\theta}_{0,1} \left( m_2 \cdot x_{2,C3} \cdot \sigma_{10} + m_3 \cdot (x_{3,C3} \cdot \sigma_{10} + m_3 \cdot x_{2,C3} \cdot \sigma_{10}) \right) \\ + \ddot{\theta}_{0,1} \left( m_2 \cdot x_{2,C3} \cdot \sigma_{10} + m_3 \cdot x_{2,C3} \cdot \sigma_{10} \right) \\ + \ddot{\theta}_{0,1} \left( m_2 \cdot x_{2,C3} \cdot \sigma_{10} + m_3 \cdot x_{2,C3} \cdot \sigma_{10} \right) \\ + \ddot{\theta}_{0,1} \left( m_2 \cdot x_{2,C3} \cdot \sigma_{10} + m_3 \cdot x_{2,C3} \cdot \sigma_{10} \right) \\ + \ddot{\theta}_{0,1} \left( m_2 \cdot x_{2,C3} \cdot \sigma_{10} + m_3 \cdot x_{2,C3} \cdot \sigma_{10} \right) \\ + \ddot{\theta}_{0,1} \left( m_2 \cdot x_{2,C3} \cdot \sigma_{10} + m_3 \cdot x_{2,C3} \cdot \sigma_{10} \right) \\ + \ddot{\theta}_{0,1} \left( m_2 \cdot x_{2,C3} \cdot \sigma_{10} + m_3 \cdot x_{2,C3} \cdot \sigma_{10} \right) \\ + \ddot{\theta}_{0,1} \left( m_2 \cdot x_{2,C3} \cdot \sigma_{10} + m_3 \cdot x_{2,C3} \cdot \sigma_{10} \right) \\ + \ddot{\theta}_{0,1} \left( m_2 \cdot x_{2,C3} \cdot \sigma_{10} + m_3 \cdot x_{2,C3} \cdot \sigma_{10} \right) \\ + \ddot{\theta}_{0,1} \left( m_2 \cdot x_{2,C3} \cdot \sigma_{10} + m_3 \cdot x_{2,C3} \cdot \sigma_{10} \right) \\ + \ddot{\theta}_{0,1} \left( m_2 \cdot x_{2,C3} \cdot \sigma_{10} + m_3 \cdot x_{2,C3} \cdot \sigma_{10} \right) \\ + \ddot{\theta}_{0,1} \left( m_2 \cdot x_{2,C3} \cdot \sigma_{10} + m_3 \cdot x_{2,C3} \cdot \sigma_{10} \right) \\ + \ddot{\theta}_{0,1} \left( m_2 \cdot x_{2,C3} \cdot \sigma_{10} + m_3 \cdot x_{2,C3} \cdot \sigma_{10} \right) \\ + \ddot{\theta}_{0,1} \left( m_2 \cdot x_{2,C3} \cdot \sigma_{10} + m_3 \cdot x_{2,C3} \cdot \sigma_{10} \right) \\ + \ddot{\theta}_{0,1} \left( m_2 \cdot x_{2,C3} \cdot \sigma_{10} + m_3 \cdot x_{2,C3} \cdot \sigma_{10} \right) \\ + \ddot{\theta}_{0,1} \left( m_2 \cdot x_{2,C3} \cdot \sigma_{10} + m_3 \cdot x_{2,C3} \cdot \sigma_{10} \right) \\ + \ddot{\theta}
         where
                   \sigma_1 = \dot{\theta}_{O,1} \, \sigma_5 + \sigma_7 + \dot{\theta}_{2,3} \, x_{3,C3} \, \sigma_9
                      \sigma_2 = \dot{\theta}_{0,1} \, \sigma_6 + \sigma_8 + \dot{\theta}_{2,3} \, x_{3,C3} \, \sigma_{11}
                   \sigma_3 = \sigma_7 + \dot{\theta}_{0,1} (x_{3,C3} \sigma_9 + \sigma_{10}) + \dot{\theta}_{2,3} x_{3,C3} \sigma_9
   D theta3 =
      \frac{I_{23} \left(\dot{\theta}_{1,2} + \dot{\theta}_{2,3} + \dot{\theta}_{O,1}\right)}{2} + I_{223} \left(\frac{\dot{\theta}_{1,2}}{2} + \frac{\dot{\theta}_{2,3}}{2} + \frac{\dot{\theta}_{O,1}}{2}\right) + m_3 x_{3,C3} \, \sigma_1 \left(\dot{\theta}_{O,1} \left(x_{3,C3} \, \sigma_1 + \sigma_3 + L_1 \sin(\theta_{O,1})\right) + \dot{\theta}_{1,2} \left(x_{3,C3} \, \sigma_1 + \sigma_3\right) + \dot{\theta}_{2,3} x_{3,C3} \, \sigma_1\right) + m_3 x_{3,C3} \, \sigma_2 \left(\dot{\theta}_{O,1} \left(\sigma_4 + L_1 \cos(\theta_{O,1}) + x_{3,C3} \, \sigma_2\right) + \dot{\theta}_{1,2} \left(\sigma_4 + x_{3,C3} \, \sigma_2\right) + \dot{\theta}_{2,3} x_{3,C3} \, \sigma_2\right) + \dot{\theta}_{2,3} x_{3,C3} \, \sigma_2\right) + \dot{\theta}_{2,3} x_{3,C3} \, \sigma_2
                   \sigma_1 = \sin(\theta_{1,2} + \theta_{2,3} + \theta_{0,1})
                      \sigma_2 = \cos(\theta_{1,2} + \theta_{2,3} + \theta_{0,1})
                      \sigma_3 = L_2 \sin(\theta_{1,2} + \theta_{0,1})
                   \sigma_4 = L_2 \cos(\theta_{1,2} + \theta_{0,1})
tao 3 =
\frac{\dot{\theta}_{2,3}}{\theta_{2,3}}\frac{(m_3\,x_3,\varsigma_3\,\sigma_9\,\sigma_4+m_3\,x_3,\varsigma_3\,\sigma_{11}\,\sigma_1-m_3\,x_3,\varsigma_3\,\sigma_{11}\,\sigma_3-m_3\,x_3,\varsigma_3\,\sigma_{21})}{(m_3\,x_3,\varsigma_3\,\sigma_9\,\sigma_4+m_3\,x_3,\varsigma_3\,\sigma_{11})} + \frac{\dot{\theta}_{1,3}}{\theta_{1,3}}\frac{(m_3\,x_3,\varsigma_3\,\sigma_{11}\,\sigma_1-m_3\,x_3,\varsigma_3\,\sigma_{21})}{(m_3\,x_3,\varsigma_3\,\sigma_{11}\,\sigma_1-m_3\,x_3,\varsigma_3\,\sigma_{21})} + \frac{\dot{\theta}_{1,2}}{\theta_{1,2}}\frac{(m_3\,x_3,\varsigma_3\,\sigma_{21}\,\sigma_{21}+m_3\,x_3,\varsigma_3\,\sigma_{21})}{(m_3\,x_3,\varsigma_3\,\sigma_{21}\,\sigma_{21}+m_3\,x_3,\varsigma_3\,\sigma_{21})} + \frac{\dot{\theta}_{1,2}}{\theta_{1,2}}\frac{(m_3\,x_3,\varsigma_3\,\sigma_{21})}{(m_3\,x_3,\varsigma_3\,\sigma_{21})} + \frac{\dot{\theta}_{1,2}}{\theta_{21}}\frac{(m_3\,x_3,\varsigma_3\,\sigma_{21})}{(m_3\,x_3,\varsigma_3\,\sigma_{21})} + \frac{\dot{\theta}_{1,2}}{\theta_{21}}\frac{(m_3\,x_3,\varsigma_3\,\sigma_{21})}{(m_3\,x_3,\varsigma_3\,\sigma_{2
               \sigma_1 = \dot{\theta}_{O,1} \, \sigma_5 + \sigma_6 + \dot{\theta}_{2,3} \, x_{3,\text{C3}} \, \sigma_9
               \sigma_2 = \dot{\theta}_{0,1} \, \sigma_7 + \sigma_8 + \dot{\theta}_{2,3} \, x_{3,C3} \, \sigma_{11}
               \sigma_3 = \dot{\theta}_{1,2} x_{3,C3} \sigma_9 + \dot{\theta}_{2,3} x_{3,C3} \sigma_9 + \dot{\theta}_{0,1} x_{3,C3} \sigma_9
tao =
                                                                                                                                                                                                                                                                                                            \ddot{\theta}_{0,1}\left( I_{021} + I_{022} + I_{023} + m_3 \sigma_{12}^2 + L_1^2 m_2 + m_3 \sigma_{12}^2 + L_1^2 m_2 + m_3 \sigma_{14}^2 + m_1 x_1 c_1^2 + m_2 x_2 c_2^2 + 2 L_1 m_2 x_2 c_2 \cos(\theta_{12}) \right) - \dot{\theta}_{1,2}\left( m_3 \sigma_2 \sigma_{12} - m_3 \sigma_{14} \sigma_1 - \sigma_9 + \sigma_8 + L_1 m_2 \dot{\theta}_{1,2} x_2 c_2 \sin(\theta_{12}) + 2 L_1 m_2 \dot{\theta}_{0,1} x_2 c_2 \sin(\theta_{12}) + 2 L_1 m_2 \dot{\theta}_{0,1} x_2 c_2 \sin(\theta_{12}) + 2 L_1 m_2 \dot{\theta}_{1,2} x_2 c_2 \cos(\theta_{12}) \right) - \dot{\theta}_{1,2}\left( m_3 \sigma_2 \sigma_{12} - m_3 \sigma_{14} \sigma_1 - \sigma_9 + \sigma_8 + L_1 m_2 \dot{\theta}_{1,2} x_2 c_2 \sin(\theta_{12}) + 2 L_1 m_2 \dot{\theta}_{0,1} x_2 c_2 \sin(\theta_{12}) + 2 L_1 m_2 \dot{\theta}_{0,1} x_2 c_2 \sin(\theta_{12}) + 2 L_1 m_2 \dot{\theta}_{1,2} x_2 c_2
               \ddot{\theta}_{1,2} \left( I_{222} + I_{233} + m_2 \times z_2 C^2 + m_3 \left( \sigma_{17} + x_{3,C3} \sigma_{16} \right)^2 + m_3 \left( x_{3,C3} \sigma_{18} + \sigma_{19} \right)^2 \right) - \dot{\theta}_{1,2} \left( m_3 \left( \sigma_{17} + x_{3,C3} \sigma_{16} \right) \sigma_2 - m_3 \left( x_{3,C3} \sigma_{18} + \sigma_{19} \right) \sigma_1 - \sigma_9 + \sigma_8 + L_1 m_2 \dot{\theta}_{0,1} x_{2,C2} \sin(\theta_{1,2}) \right) + \ddot{\theta}_{0,1} \sigma_3 + \dot{\theta}_{2,3} \left( m_3 \left( x_{3,C3} \sigma_{18} + \sigma_{19} \right) \sigma_1 - \sigma_9 + \sigma_8 + L_1 m_2 \dot{\theta}_{0,1} x_{2,C2} \sin(\theta_{1,2}) \right) + \ddot{\theta}_{0,1} \sigma_3 + \dot{\theta}_{2,3} \left( m_3 \left( x_{3,C3} \sigma_{18} + \sigma_{19} \right) \sigma_1 - \sigma_9 + \sigma_8 + L_1 m_2 \dot{\theta}_{0,1} x_{2,C2} \sin(\theta_{1,2}) \right) + \ddot{\theta}_{0,1} \sigma_3 + \dot{\theta}_{2,3} \left( m_3 \left( x_{3,C3} \sigma_{18} + \sigma_{19} \right) \sigma_1 - \sigma_9 + \sigma_8 + L_1 m_2 \dot{\theta}_{0,1} x_{2,C2} \sin(\theta_{1,2}) \right) + \ddot{\theta}_{0,1} \sigma_3 + \dot{\theta}_{2,3} \left( m_3 \left( x_{3,C3} \sigma_{18} + \sigma_{19} \right) \sigma_1 - \sigma_9 + \sigma_8 + L_1 m_2 \dot{\theta}_{0,1} x_{2,C2} \sin(\theta_{1,2}) \right) + \ddot{\theta}_{0,1} \sigma_3 + \dot{\theta}_{2,3} \left( m_3 \left( x_{3,C3} \sigma_{18} + \sigma_{19} \right) \sigma_1 - \sigma_9 + \sigma_8 + L_1 m_2 \dot{\theta}_{0,1} x_{2,C2} \sin(\theta_{1,2}) \right) + \ddot{\theta}_{0,1} \sigma_3 + \dot{\theta}_{2,3} \left( m_3 \left( x_{3,C3} \sigma_{18} + \sigma_{19} \right) \sigma_1 - \sigma_9 + \sigma_8 + L_1 m_2 \dot{\theta}_{0,1} x_{2,C2} \sin(\theta_{1,2}) \right) + \ddot{\theta}_{0,1} \sigma_3 + \dot{\theta}_{2,3} \left( m_3 \left( x_{3,C3} \sigma_{18} + \sigma_{19} \right) \sigma_1 - \sigma_9 + \sigma_8 + L_1 m_2 \dot{\theta}_{0,1} x_{2,C2} \sin(\theta_{1,2}) \right) + \ddot{\theta}_{0,1} \sigma_3 + \dot{\theta}_{0,1} \sigma_3 
                                                                                                                                                                                                                                                                                                                                                                                                                                                                                                                                                                                                                                                                                                                                                                                                                                                                            \dot{\theta}_{23} \; (m_3 \, x_{3,C3} \, \sigma_{18} \, \sigma_4 + m_3 \, x_{3,C3} \, \sigma_{16} \, \sigma_{11} - m_3 \, x_{3,C3} \, \sigma_{16} \, \sigma_5 - m_3 \, x_{3,C3} \, \sigma_{18} \, \sigma_{10}) \\ + \, \dot{\theta}_{12} \; \sigma_6 + \, \dot{\theta}_{23} \; (m_3 \, x_{3,C3}^2 \, \sigma_{16}^2 + m_3 \, x_{3,C3}^2 \, \sigma_{18}^2 + I_{rz3}) \\ + \, \dot{\theta}_{12} \; (m_3 \, x_{3,C3} \, \sigma_{18} \, \sigma_{12} + m_3 \, x_{3,C3}^2 \, \sigma_{18}^2 + I_{rz3}) \\ + \, \dot{\theta}_{12} \; (m_3 \, x_{3,C3} \, \sigma_{18} \, \sigma_{12} + m_3 \, x_{3,C3}^2 \, \sigma_{18}^2 + I_{rz3}) \\ + \, \dot{\theta}_{12} \; (m_3 \, x_{3,C3} \, \sigma_{18} \, \sigma_{12} + m_3 \, x_{3,C3}^2 \, \sigma_{18}^2 + I_{rz3}) \\ + \, \dot{\theta}_{12} \; (m_3 \, x_{3,C3} \, \sigma_{18} \, \sigma_{12} + m_3 \, x_{3,C3}^2 \, \sigma_{18}^2 + I_{rz3}) \\ + \, \dot{\theta}_{12} \; (m_3 \, x_{3,C3} \, \sigma_{18} \, \sigma_{12} + m_3 \, x_{3,C3}^2 \, \sigma_{18}^2 + I_{rz3}) \\ + \, \dot{\theta}_{12} \; (m_3 \, x_{3,C3} \, \sigma_{18} \, \sigma_{12} + m_3 \, x_{3,C3}^2 \, \sigma_{18}^2 + I_{rz3}) \\ + \, \dot{\theta}_{12} \; (m_3 \, x_{3,C3} \, \sigma_{18} \, \sigma_{12} + m_3 \, x_{3,C3}^2 \, \sigma_{18}^2 + I_{rz3}) \\ + \, \dot{\theta}_{12} \; (m_3 \, x_{3,C3} \, \sigma_{18} \, \sigma_{12} + m_3 \, x_{3,C3}^2 \, \sigma_{18}^2 + I_{rz3}) \\ + \, \dot{\theta}_{13} \; (m_3 \, x_{3,C3} \, \sigma_{18} \, \sigma_{13} + m_3 \, x_{3,C3}^2 \, \sigma_{18}^2 + I_{rz3}) \\ + \, \dot{\theta}_{13} \; (m_3 \, x_{3,C3} \, \sigma_{18} \, \sigma_{13} + m_3 \, x_{3,C3}^2 \, \sigma_{18}^2 + I_{rz3}) \\ + \, \dot{\theta}_{13} \; (m_3 \, x_{3,C3} \, \sigma_{18} \, \sigma_{13} + m_3 \, x_{3,C3}^2 \, \sigma_{18}^2 + I_{rz3}) \\ + \, \dot{\theta}_{13} \; (m_3 \, x_{3,C3} \, \sigma_{18} \, \sigma_{13} + m_3 \, x_{3,C3}^2 \, \sigma_{18}^2 + I_{rz3}) \\ + \, \dot{\theta}_{13} \; (m_3 \, x_{3,C3} \, \sigma_{18} \, \sigma_{13} + m_3 \, x_{3,C3}^2 \, \sigma_{18}^2 + I_{rz3}) \\ + \, \dot{\theta}_{13} \; (m_3 \, x_{3,C3} \, \sigma_{18} \, \sigma_{13} + m_3 \, x_{3,C3}^2 \, \sigma_{18}^2 + I_{rz3}) \\ + \, \dot{\theta}_{13} \; (m_3 \, x_{3,C3} \, \sigma_{18} \, \sigma_{13} + m_3 \, x_{3,C3}^2 \, \sigma_{18}^2 + I_{rz3}) \\ + \, \dot{\theta}_{13} \; (m_3 \, x_{3,C3} \, \sigma_{18} \, \sigma_{13} + m_3 \, x_{3,C3}^2 \, \sigma_{18}^2 + I_{rz3}) \\ + \, \dot{\theta}_{13} \; (m_3 \, x_{3,C3} \, \sigma_{18} \, \sigma_{13} + m_3 \, x_{3,C3}^2 \, \sigma_{18}^2 + I_{rz3}^2 + I_
      where
               \sigma_1 = \sigma_{13} + \dot{\theta}_{0,1} (\sigma_{17} + x_{3,C3} \sigma_{16}) + \dot{\theta}_{2,3} x_{3,C3} \sigma_{16}
                   \sigma_2 = \sigma_{15} + \dot{\theta}_{O,1} (x_{3,C3} \sigma_{18} + \sigma_{19}) + \dot{\theta}_{2,3} x_{3,C3} \sigma_{18}
```

```
M1 = \begin{cases} I_{IZ1} + I_{IZ2} + I_{IZ3} + m_3 \, \sigma_1^2 + L_1^2 \, m_2 + m_3 \, \sigma_2^2 + m_1 \, x_1 c_1^2 + m_2 \, x_2 c_2^2 + 2 \, L_1 \, m_2 \, x_2 c_2 \cos(\theta_{1,2}) \\ m_2 \, x_2 c_2^2 + L_1 \, m_2 \cos(\theta_{1,2}) \, x_2 c_2 + I_{IZ2} + I_{IZ3} + m_3 \, (\sigma_3 + x_3 c_3 \, \sigma_4) \, \sigma_1 + m_3 \, (x_3 c_3 \, \sigma_6 + \sigma_3) \, \sigma_2 \\ I_{IZ3} + m_3 \, x_3 c_3 \, \sigma_4 \, \sigma_1 + m_3 \, x_3 c_3 \, \sigma_6 \, \sigma_2 \end{cases}
where
\sigma_1 = \sigma_3 + L_1 \cos(\theta_{0,1}) + x_3 c_3 \, \sigma_4
\sigma_2 = x_3 c_3 \, \sigma_6 + \sigma_5 + L_1 \sin(\theta_{0,1})
\sigma_3 = L_2 \cos(\theta_{1,2} + \theta_{0,1})
\sigma_4 = \cos(\theta_{1,2} + \theta_{2,3} + \theta_{0,1})
\sigma_5 = L_2 \sin(\theta_{1,2} + \theta_{0,1})
\sigma_6 = \sin(\theta_{1,2} + \theta_{2,3} + \theta_{0,1})
```

```
\left(m_2 x_{2,C2}^2 + L_1 m_2 \cos(\theta_{1,2}) x_{2,C2} + I_{rz2} + I_{rz3} + m_3 \left(\sigma_2 + x_{3,C3} \sigma_4\right) \left(\sigma_2 + L_1 \cos(\theta_{0,1}) + x_{3,C3} \sigma_4\right) + m_3 \left(x_{3,C3} \sigma_3 + \sigma_1\right) \left(x_{3,C3} \sigma_3 + \sigma_1 + L_1 \sin(\theta_{0,1})\right)\right) + m_3 \left(x_{3,C3} \sigma_3 + \sigma_1\right) \left(x_{3,C3} \sigma_4\right) \left(x_{3,C3} \sigma_
                                                                                                                                                                                                                                                                                       I_{zz2} + I_{zz3} + m_2 x_{2,C2}^2 + m_3 (\sigma_2 + x_{3,C3} \sigma_4)^2 + m_3 (x_{3,C3} \sigma_3 + \sigma_1)^2
                                                                                                                                                                                                                                                                                                  I_{zz3} + m_3 x_{3,C3} \sigma_4 (\sigma_2 + x_{3,C3} \sigma_4) + m_3 x_{3,C3} \sigma_3 (x_{3,C3} \sigma_3 + \sigma_1)
where
   \sigma_1 = L_2 \sin(\theta_{1,2} + \theta_{O,1})
     \sigma_2 = L_2 \cos(\theta_{1,2} + \theta_{0,1})
     \sigma_3 = \sin(\theta_{1,2} + \theta_{2,3} + \theta_{0,1})
     \sigma_4 = \cos(\theta_{1,2} + \theta_{2,3} + \theta_{O,1})
   \left(I_{zz3} + m_3 x_{3,C3} \sigma_2 \left(\sigma_4 + L_1 \cos(\theta_{O,1}) + x_{3,C3} \sigma_2\right) + m_3 x_{3,C3} \sigma_1 \left(x_{3,C3} \sigma_1 + \sigma_3 + L_1 \sin(\theta_{O,1})\right)\right)
                                                                                                        I_{zz3} + m_3 x_{3,C3} \sigma_2 (\sigma_4 + x_{3,C3} \sigma_2) + m_3 x_{3,C3} \sigma_1 (x_{3,C3} \sigma_1 + \sigma_3)
                                                                                                                                                                                                 m_3 x_{3,C3}^2 \sigma_2^2 + m_3 x_{3,C3}^2 \sigma_1^2 + I_{zz3}
where
     \sigma_1 = \sin(\theta_{1,2} + \theta_{2,3} + \theta_{O,1})
     \sigma_2 = \cos(\theta_{1,2} + \theta_{2,3} + \theta_{0,1})
     \sigma_3 = L_2 \sin(\theta_{1,2} + \theta_{O,1})
     \sigma_4 = L_2 \cos(\theta_{1,2} + \theta_{0,1})
```

```
 \begin{aligned} & \text{M\_theta} = \\ & \left(x_{1,\text{Cl}}^2 m_1 + \left(L_1^2 + 2\cos(\theta_{1,2}) L_1 x_{2,\text{C2}} + x_{2,\text{Cl}}^2\right) m_2 + \left(\sigma_4^2 + \sigma_5^2\right) m_3 + I_{\text{Z2}} + I_{\text{Z2}} 3} \right. & \sigma_1 & \sigma_2 \\ & \sigma_1 & x_{2,\text{C2}}^2 m_2 + \left(\left(\sigma_7 + x_{3,\text{C3}} \sigma_6\right)^2 + \left(x_{3,\text{C3}} \sigma_8 + \sigma_9\right)^2\right) m_3 + I_{\text{Z2}} + I_{\text{Z2}} 3} & \sigma_3 \\ & \sigma_2 & \sigma_3 & \left(x_{3,\text{C3}}^2 \sigma_6^2 + x_{3,\text{C3}}^2 \sigma_8^2\right) m_3 + I_{\text{Z2}} \right) \end{aligned} \\ & \text{where} \\ & \sigma_1 = \left(x_{2,\text{C2}}^2 + L_1 \cos(\theta_{1,2}) x_{2,\text{C2}}\right) m_2 + \left(\left(\sigma_7 + x_{3,\text{C3}} \sigma_6\right) \sigma_4 + \left(x_{3,\text{C3}} \sigma_8 + \sigma_9\right) \sigma_3\right) m_3 + I_{\text{Z2}} + I_{\text{Z3}} \right) \\ & \sigma_2 = \left(x_{3,\text{C3}} \sigma_6 \sigma_4 + x_{3,\text{C3}} \sigma_8 \sigma_3\right) m_3 + I_{\text{Z2}} \right) \end{aligned}
```

6.7. Cálculo del vector par

```
 \begin{array}{l} \text{V.theta} = \\ & -\dot{\theta}_{12} \left( m_3 \sigma_2 \sigma_9 - m_3 \sigma_{11} \sigma_1 - \sigma_6 + \sigma_5 + L_1 m_2 \dot{\theta}_{12} x_{2C} \sin(\theta_{12}) + 2L_1 m_2 \dot{\theta}_{O_1} x_{2C} \sin(\theta_{12}) - \dot{\theta}_{23} \left( m_3 \sigma_9 \sigma_4 - m_3 \sigma_{11} \sigma_3 - m_3 x_{3C3} \sigma_{13} \sigma_8 + m_3 x_{3C3} \sigma_{13} \sigma_8 + m_3 x_{3C3} \sigma_{13} \sigma_8 - m_3 x_{3C3} \sigma_{13} \sigma_8 + m_3 x_{3C3} \sigma_{13} \sigma_8 - m_3 x_{3C3} \sigma_{13} \sigma_8 - m_3 x_{3C3} \sigma_{13} \sigma_8 - m_3 x_{3C3} \sigma_{13} \sigma_8 + m_3 x_{3C3} \sigma_{13} \sigma_8 + m_3 x_{3C3} \sigma_{13} \sigma_8 - m_3 x_{3C3} \sigma_{13} \sigma_8 + m_3 x_{3C3} \sigma_{13} \sigma_8 + m_3 x_{3C3} \sigma_{13} \sigma_8 - m_3 x_{3C3} \sigma_{13} \sigma_8 - m_3 x_{3C3} \sigma_{13} \sigma_8 + m_3 x_{3C3} \sigma_{13} \sigma_8 + m_3 x_{3C3} \sigma_{13} \sigma_8 - m_3 x_{3C3} \sigma_{13} \sigma_8 + m_3 x_{3C3} \sigma_{13} \sigma_8 + m_3 x_{3C3} \sigma_{13} \sigma_8 - m_3 x_{3C3} \sigma_{13} \sigma_8 + m_3 x_{3C3} \sigma_{13} \sigma_8 - m_3 x_{3C3} \sigma_{13} \sigma_8 + m_3 x_{3C3} \sigma_{13} \sigma_8 + m_3 x_{3C3} \sigma_{13} \sigma_8 - m_3 x_{3C3} \sigma_{13} \sigma_8 + m_3 x_{3C3} \sigma_{13}
```

6.8. Dinámica inversa

Problema: dadas las trayectorias articulares $q(t), \dot{q}(t), \ddot{q}(t)$ (o la trayectoria cartesiana ya convertida), ¿qué **torques** τ debo aplicar en cada junta?

Con el modelo:

$$\tau = M(q) \ddot{q} + C(q, \dot{q}) \dot{q} + g(q)$$

Se evalúa con determinados parámetros y se obtiene directamente el vector de torques. Esto es lo que usan los controladores de seguimiento: si se quiere mover el SCARA siguiendo q(t), la **dinámica inversa** da la señal $\tau(t)$ que compensa inercia, Coriolis/centrífugos y gravedad.

```
I_{xz2}\ddot{\theta}_{1,2} + I_{xz3}\ddot{\theta}_{1,2} + I_{xz3}\ddot{\theta}_{2,3} + I_{zz1}\ddot{\theta}_{0,1} + I_{zz2}\ddot{\theta}_{0,1} + I_{zz3}\ddot{\theta}_{0,1} + \sigma_{13} + \sigma_{3} + \sigma_{2} + m_{1}\ddot{\theta}_{0,1}x_{1,C1}^{2} + \sigma_{12} + \sigma_{15} + L_{1}^{2}m_{2}\ddot{\theta}_{0,1} + L_{1}^{2}m_{3}\ddot{\theta}_{0,1} + \sigma_{14} - L_{1}m_{3}\dot{\theta}_{1,2}^{2}x_{3,C3}\sin(\theta_{1,2} + \theta_{2,3}) - L_{1}m_{3}\dot{\theta}_{2,3}^{2}x_{3,C3}\sin(\theta_{1,2} + \theta_{2,3}) + L_{2}m_{3}\ddot{\theta}_{1,2} +
where
     \sigma_1 = m_3 \ddot{\theta}_{O,1} x_{3,C3}^2
      \sigma_2 = m_3 \ddot{\theta}_2 \times r_3 c_3^2
                                                                                                                                                                                                                                                                                                                                                                                            -\sigma_4 - \sigma_3 - \sigma_2 - \sigma_8 - \sigma_7 - \sigma_6 - \sigma_1 - \sigma_5 -2 m_3 x_{3,C3} (L_1 \sin(\theta_{1,2} + \theta_{2,3}) + L_2 \sin(\theta_{2,3})) (\dot{\theta}_{1,2} + \dot{\theta}_{2,3} + \dot{\theta}_{0,1})
                                                                                                                              -\sigma_4 - \sigma_3 - \sigma_8 - \sigma_6 - \sigma_1
                                                                                                                                                                                                                                                                                                                                                                                                                                                                                                                                                                                                                                                                       -2 L_2 m_3 x_{3,C3} \sin(\theta_{2,3}) \left(\dot{\theta}_{1,2} + \dot{\theta}_{2,3} + \dot{\theta}_{O,1}\right)
                                                                                                                                                                                                                                                                                                                                                                                                                                                                                     -\sigma_1
                                                                                                                                              \sigma_2 + \sigma_7 - \sigma_1 + \sigma_5
 \left(2\,m_3\,x_{3,C3}\,\left(L_2\,\dot{\theta}_{1,2}\sin(\theta_{2,3}) + L_2\,\dot{\theta}_{0,1}\sin(\theta_{2,3}) + L_1\,\dot{\theta}_{0,1}\sin(\theta_{1,2} + \theta_{2,3})\right)\right) = 2\,L_2\,m_3\,x_{3,C3}\sin(\theta_{2,3})\,\left(\dot{\theta}_{1,2} + \dot{\theta}_{0,1}\right)
where
     \sigma_1 = 2 L_2 m_3 \dot{\theta}_{2,3} x_{3,C3} \sin(\theta_{2,3})
     \sigma_2 = 2 L_1 m_3 \dot{\theta}_{O,1} x_{3,C3} \sin(\theta_{1,2} + \theta_{2,3})
     I_{xz2}\ddot{\theta}_{1,2} + I_{zz3}\ddot{\theta}_{1,2} + I_{zz3}\ddot{\theta}_{2,3} + I_{zz1}\ddot{\theta}_{0,1} + I_{zz2}\ddot{\theta}_{0,1} + I_{zz3}\ddot{\theta}_{0,1} + \sigma_{16} + \sigma_{4} + \sigma_{3} + m_{1}\ddot{\theta}_{0,1}x_{1,C1}^{2} + \sigma_{15} + \sigma_{2} + \sigma_{18} + L_{1}^{2}m_{2}\ddot{\theta}_{0,1} + L_{1}^{2}m_{3}\ddot{\theta}_{0,1} + \sigma_{17} + \sigma_{13} + \sigma_{10} + L_{1}g\,m_{2}\cos(\theta_{0,1}) + L_{1}g\,m_{2}\cos(\theta_{0,1}) + L_{1}g\,m_{2}\cos(\theta_{0,1})
where
     \sigma_1 = g \; m_3 \, x_{3,\text{C3}} \cos(\theta_{1,2} + \theta_{2,3} + \theta_{O,1})
```

7. CODIGO MATLAB

Listing 1: Ejemplo de código en MATLAB

```
Exámen Robótica
             Alumnos: Rocio Fabiola Romero Bernal
             "Deficición de la función de manera simbolica
             syms Tij(x_i_j,y_i_j,z_i_j,gi_j,bi_j,ai_j)
             %Definición de la transformación homógenea general
            Tij(x_i_j,y_i_j,z_i_j,g_i_j,b_i_j,a_i_j) = [\cos(a_i_j)*\cos(b_i_j) \cos(a_i_j)*\sin(b_i_j)*\sin(g_i_j)-\sin(a_i_j)*\sin(a_i_j)
                                  \verb|ai_j|*\cos(gi_j) \sin(ai_j)*\sin(gi_j)+\cos(ai_j)*\sin(bi_j)*\cos(gi_j) x_i_j; \sin(ai_j)*\cos(bi_j)
                                 \cos(\mathtt{ai\_j}) * \cos(\mathtt{gi\_j}) + \sin(\mathtt{ai\_j}) * \sin(\mathtt{bi\_j}) * \sin(\mathtt{gi\_j}) \\ \sin(\mathtt{ai\_j}) * \sin(\mathtt{bi\_j}) * \cos(\mathtt{gi\_j}) - \cos(\mathtt{ai\_j}) * \sin(\mathtt{bi\_j}) * \sin(\mathtt
                                 gi_j) y_{-i_j}; -sin(bi_j) cos(bi_j)*sin(gi_j) cos(bi_j)*cos(gi_j) z_{-i_j}; 0 0 0 1]
            Modelado del robot Scara
11
12
            Planteamiento del modelo cinemático directo de la posición
            syms x_0_1 y_0_1 theta_0_1 L_2 theta_1_2 L_3 theta_2_3 L_1
            T_0_1 = Tij(x_0_1, y_0_1, 0, 0, 0, theta_0_1)
17
            T_1_2 = Tij(L_1,0,0,0,0,theta_1_2)
            T_2_3 = Tij(L_2,0,0,0,0,theta_2_3)
21
T_3P = Tij(L_3,0,0,0,0,0)
```

```
T_0P = simplify(T_0_1*T_1_2*T_2_3*T_3_P)
26
  Planteamiento del modelo cinemático inverso de la posición
27
28
  Parámetros que integran el vector de posición
29
30
  %% Extracción desde T_O_P (ROTACIÓN, POSICIÓN, ÁNGULO y EJE)
                                                                     simbólico
31
  % Submatriz de rotación y vector de posición
32
33 R = T_0_P(1:3,1:3)
  r = T_0_P(1:3,4)
34
35
36
37
38
39
  xi_0_P = [T_0_P(1,4); T_0_P(2,4); theta_0_1+theta_1_2+theta_2_3]
|q| = [theta_0_1; theta_1_2; theta_2_3];
43 syms J_theta
44
  J theta
46
  J_theta = jacobian(xi_0_P,q)
48
49
  %% Regla SIMBÓLICA de actualización (con tus variables xi_0_P y J_theta)
50
  % Parámetros simbólicos
  syms h epsJ_sym positive
  syms qk1 qk2 qk3 real
54
  % Estado articular actual simbólico q_k
56
  qk = [qk1; qk2; qk3]
58
  % Postura deseada simbólica en el espacio de tarea
59
  syms x_d y_d phi_d real
60
  xi_d = [x_d; y_d; phi_d]
61
  % Error en q_k (usando tu estado xi_0_P)
63
  e_k = simplify( xi_d - subs(xi_0_P, q, qk))
65
  % Jacobiano evaluado en q_k (usando tu J_sym)
66
67
  Jk(qk1,qk2,qk3) = subs(J_theta, q, qk)
68
  % Paso predictor (Euler) con Damped Least Squares
69
  dq1_sym = (Jk(qk1,qk2,qk3).'*Jk(qk1,qk2,qk3) + epsJ_sym*eye(3)) \setminus ...
70
             (Jk(qk1,qk2,qk3).'*e_k(qk1,qk2,qk3))
72
73
  % Punto predicho q_e
  q_e_{sym} = qk + h*dq1_{sym}
74
  \% Re-evaluaciones en q_e para el trapecio
  J_e(qk1,qk2,qk3) = subs(J_sym, q, q_e_sym)
77
  e_e(qk1,qk2,qk3) = xi_d - subs(xi_0_P, q, q_e_sym)
78
  % Paso corrector (trapecio)
80
  dq2_{sym} = (J_e(qk1,qk2,qk3).*J_e(qk1,qk2,qk3) + epsJ_{sym}*eye(3)) \setminus ...
             (J_e(qk1,qk2,qk3). '*e_e(qk1,qk2,qk3))
82
83
  dq_trap_sym = (dq1_sym + dq2_sym)/2
              = qk + h*dq_trap_sym
85
  qkp1_sym
  % Norma del error y criterio de paro simbólico
87
  err_norm_k = sqrt(e_sym(qk1,qk2,qk3).'*e_sym(qk1,qk2,qk3))
  syms tol positive
  stop_cond = err_norm_k <= tol
91
92
94 % Conversión a función numérica (para usarla en el solver IK)
```

```
% Ajusta nombres si tus 'syms' cambian
95
   fk_sym_fun = matlabFunction(T_O_P, ...
96
       'Vars', { [theta_0_1, theta_1_2, theta_2_3], [L_1, L_2, L_3], [x_0_1, y_0_1] });
97
   % Si tu base está en el origen:
98
   fkfun = Q(q,L) double(fk_sym_fun(q(:).', L(:).', [0, 0]));
   Planteamiento del modelo cinemático directo de las velocidades
   J_theta = jacobian(xi_0_P,[theta_0_1, theta_1_2,theta_2_3])
103
104
   Planteamiento del modelo cinemático inverso de las velocidadees
106
   Jinv=inv(J_theta)
108
   Planteamiento del modelo cinemático directo de las aceleraciones
109
110
111
   % Derivada del Jacobiano: Jdot = sum_i ( J / q_i ) qd_i
   113
   Jdot = simplify(Jdot)
114
   Planteamiento del modelo cinemático inverso de las aceleraciones
116
   % Derivada del inverso del Jacobiano: (d/dt) J^{-1} = - J^{-1} * Jdot * J^{-1}
   Jinv_dot = simplify( - Jinv * Jdot * Jinv )
118
   Modelo dinámico por ecuaciones de E ler-Lagrange
119
120
   Se emplearan las siguientes ecuaciones para el cálculo de la energía cinética:
123
124
125
   syms x_1_C1 theta_dot_0_1
126
127
128
   v_C1_C1 = [0; x_1_C1*theta_dot_0_1; 0]
    v_0_C1 = [-x_1_C1*sin(theta_0_1)*theta_dot_0_1; x_1_C1*cos(theta_0_1)*theta_dot_0_1; 0] 
130
   transpose(v_C1_C1)*v_C1_C1
132
   simplify(transpose(v_0_C1)*v_0_C1)
134
  Cálculo de la posición de los centros de masa
136
137
138
   syms x_1_C1 x_2_C2 x_3_C3
   T_1_C1 = Tij(x_1_C1,0,0,0,0,0)
140
141
142
   T_0_C1 = T_0_1*T_1_C1
143
   T_2_C2 = Tij(x_2_C2,0,0,0,0,0)
144
145
   T_0_C2 = T_0_1*T_1_2*T_2_C2
146
   T_3_C3 = Tij(x_3_C3,0,0,0,0,0)
148
149
   T_0_C3 = T_0_1*T_1_2*T_2_3*T_3_C3
   %Vectores de posición
152
   p_0_C1 = [T_0_C1(1,4); T_0_C1(2,4); T_0_C1(3,4)]
153
154
   p_0_{C2} = simplify([T_0_{C2}(1,4);T_0_{C2}(2,4);T_0_{C2}(3,4)])
155
  p_0C3 = simplify([T_0C3(1,4);T_0C3(2,4);T_0C3(3,4)])
158
   Cálculo de la cinemática inversa (funciones aplicables)
160
162 %% Plantilla de ejecución (asignas valores cuando corras)
   % a0
        = [q1_0; q2_0; q3_0];
                                      % semilla (rad)
   % L
          = [L1; L2; L3];
                                      % longitudes
164
165 % h
          = 0.7;
                                      % tamaño de paso
```

```
166 % tol = 1e-5;
                                         % tolerancia
167
   % kmax = 500;
                                         % iteraciones máx.
   \% \text{ epsJ} = 1e-6;
                                         % regularización
168
170
   % % Objetivo como matriz homogénea:
   % % T_d = ... % la defines tú
171
   % xi_0_P_d = xi_0_P_from_T_traza_eje(T_d)
                                                   % <- se muestra también
172
   % % Ejecutar la IK (devuelve historial y muestra error por iteración)
174
   % [q_hist, info, e_hist] = ik_scara_trap_xiOP(q0, L, h, tol, kmax, fkfun, xi_0_P_d, epsJ);
177
   % % Resultados
   % q_sol = q_hist(:,end)
178
179
180
181
182
   function [q_hist, info, e_hist] = ik_scara_trap_xiOP(qO, L, h, tol, kmax, fkfun, xi_O_P_des, epsJ)
183
184
   % IK numérica para SCARA (planar) usando el vector de estados xi_0_P = [x; y; phi].
   \% - Método: Damped Least Squares + integración del TRAPECIO.
185
   % - Itera con while hasta norma de error <= tol o alcanzar kmax.
186
187
   % ARGUMENTOS:
188
       q0
                     : [n x 1] semilla articular (para SCARA 3R, n=3)
189
   %
                     : [m \ x \ 1] longitudes de eslabones (no se usan aquí dentro, se pasan a fkfun)
190
       L
   %
       h
                     : tamaño de paso (escala el incremento articular)
                     : tolerancia de convergencia sobre ||e||
192
       tol
   %
                     : máximo de iteraciones del while
       kmax
193
       fkfun
                     : handle fkfun(q,L) \rightarrow T(4x4) (tu FK numérica desde T_0_P simbólica)
194
   %
       xi_O_P_des
                     : [3x1] estado deseado (x_d, y_d, phi_d)
195
                     : (opcional) regularización DLS; default = 1e-6
196
   % SALIDAS:
198
199
       q_hist : historial de q por columnas (q(:,k))
       info : struct('converged', bool, 'iters', k, 'err', norma_error_final)
200
       e_hist : historial de ||e|| por iteración
201
202
   if nargin < 8, epsJ = 1e-6; end
203
204
   q = q0(:);
205
206
   q_hist = q;
   e_hist = [];
207
   k = 0; % contador
208
209
   while true
210
211
       k = k + 1;
212
213
       % 1) FK y estado actual
       T = fkfun(q, L);
xi = xi_0_P_from_T(T);
                                         % 4x4
214
                                         % [x;y;phi] calculado a partir de T
215
216
       % 2) Error
217
          = xi_0_P_des(:) - xi(:);
218
       en = norm(e);
219
       e_hist(end+1) = en;
220
221
       % 3) Criterio de paro
222
       if (en <= tol) || (k >= kmax)
223
            info = struct('converged', en <= tol, 'iters', k, 'err', en);</pre>
224
225
       end
226
227
       % 4) Jacobiano numérico de xi_O_P respecto a q
228
       J = jacobian_fd(@(qq) xi_0_P_from_T(fkfun(qq, L)), q); % [3 x n]
229
230
       % 5) Predicción (Euler) con DLS
231
232
       dq1 = (J.*J + epsJ*eye(size(J,2))) \setminus (J.*e);
233
       q_e = wrapToPi_local(q + h*dq1);
234
       % 6) Corrección (trapecio): re-evaluamos en el punto predicho
235
       xi2 = xi_0_P_from_T(fkfun(q_e, L));
236
```

```
e2 = xi_0_P_des(:) - xi2(:);
238
                                           J2
                                                               = jacobian_fd(@(qq) xi_0_P_from_T(fkfun(qq, L)), q_e);
                                          dq2 = (J2.*J2 + epsJ*eye(size(J2,2))) \setminus (J2.*e2);
240
241
                                           dq_{trap} = 0.5*(dq1 + dq2);
242
                                           % 7) Actualización
243
                                          q = wrapToPi_local(q + h*dq_trap);
244
245
246
                                           % 8) Guardar historial
                                           q_hist(:,end+1) = q;
247
248
                   end
249
                  end
250
251
252
253
                  function J = jacobian_fd(f, q, delta)
254
255
                  \% Jacobiano por diferencias finitas de f: R^n -> R^m
256 if nargin < 3, delta = 1e-6; end
                  q = q(:);
257
                 f0 = f(q);
258
259 m = numel(f0);
                            = numel(q);
                 J = zeros(m,n);
261
                  for i = 1:n
262
                                          qi = q; qi(i) = qi(i) + delta;
263
                                          fi = f(qi);
264
                                           J(:,i) = (fi(:) - f0(:))/delta;
265
                   end
266
267
268
                  function a = wrapToPi_local(a)
269
                  % Normaliza ángulos a (-pi, pi]
                a = mod(a + pi, 2*pi) - pi;
271
272
273
                  Cálculo de las velocidades
274
275
                  syms theta_dot_0_1 theta_dot_1_2 theta_dot_2_3
276
277
                  v_0_C1 = diff(p_0_C1, theta_0_1)*theta_dot_0_1+diff(p_0_C1, theta_1_2)*theta_dot_1_2+diff(p_0_C1, theta_1_2)*theta_1_2+diff(p_0_C1, theta_1_
278
                                        theta_2_3)*theta_dot_2_3
279
                   v_0_c = diff(p_0_c + diff(p_0
280
                                          theta_2_3)*theta_dot_2_3
281
                   v_0_3 = diff(p_0_3, theta_0_1)*theta_dot_0_1+diff(p_0_3, theta_1_2)*theta_dot_1_2+diff(p_0_3, theta_1_2)*theta_dot_1_2+diff(p_0_3, theta_1_2)*theta_dot_1_2+diff(p_0_3, theta_1_2)*theta_1_2+diff(p_0_3, theta_1_2)*theta_1_2+diff(p_0_3, theta_1_2)*theta_1_2+diff(p_0_3, theta_1_2)*theta_1_2+diff(p_0_3, theta_1_2)*theta_1_2+diff(p_0_3, theta_1_2)*theta_1_3+diff(p_0_3, theta_1_3, theta_1_3)*theta_1_3+diff(p_0_3, theta_1_3, theta_1_3)*theta_1_3+diff(p_0_3, theta_1_3, theta_1_3)*theta_1_3+diff(p_0_3, theta_1_3, theta_1_3)*theta_1_3+diff(p_0_3, theta_1_3, theta_1_3, theta_1_3)*theta_1_3+diff(p_0_3, theta_1_3, theta_1_3)*theta_1_3+diff(p_0_3, theta_1_3, theta_1_3)*theta_1_3+diff(p_0_3, theta_1_3, theta_1_3, theta_1_3)*theta_1_3+diff(p_0_3, theta_1_3, theta_1_3, theta_1_3)*theta_1_3+diff(p_0_3, theta_1_3, theta_1_3, theta_1_3+diff(p_0_3, theta_1_3, theta_1_3, theta_1_3+diff(p_0_3, theta_1_3, theta_1_3)*theta_1_3+diff(p_0_3, theta_1_3, theta_1_3, theta_1_3+diff(p_0_3, theta_1_3, theta_1_3, theta_1_3+diff(p_0_3, theta_1_3+diff(p_0_3, theta_1_3, theta_1_3+diff(p_0_3, theta_1_3+diff(p_
                                        theta_2_3)*theta_dot_2_3
283
                  Cálculo de la velocidades angulares
284
285
                  \verb"syms" omega_1_1 omega_2_2 omega_3_3
                  %Propagación para el primer cuerpo
287
                   omega_1_1
288
                  omega_0_0 = [0;0;0]
290
291
292
                  n_1_1 = [0;0;1]
293
                  R_{-0,1} = [T_{-0,1}(1,1), T_{-0,1}(1,2), T_{-0,1}(1,3); T_{-0,1}(2,1), T_{-0,1}(2,2), T_{-0,1}(2,3); T_{-0,1}(3,1), T_{-0,1}(3,2), T_{-0,1
294
                                        T_0_1(3,3)
295
                  R_1_0 = transpose(R_0_1)
296
297
                  %Ecuación de propagación
298
                  omega_1_1 = R_1_0 * omega_0_0 + n_1_1 * theta_dot_0_1
299
                   %Propagación para el segundo cuerpo
301
                  omega_2_2
302
303
```

```
304 \mid n_2_2 = [0;0;1]
            R_{-1,2} = [T_{-1,2}(1,1), T_{-1,2}(1,2), T_{-1,2}(1,3); T_{-1,2}(2,1), T_{-1,2}(2,2), T_{-1,2}(2,3); T_{-1,2}(3,1), T_{-1,2}(3,2), T_{-1,2
306
                           T_1_2(3,3)
307
            R_2_1 = transpose(R_1_2)
308
309
            %Ecuación de propagación
310
311 omega_2_2 = R_2_1*omega_1_1+n_2_2*theta_dot_1_2
312
             %Propagación para el tercer cuerpo
313
314
             omega_3_3
315
           n_3_3 = [0;0;1]
316
317
            R_{23} = [T_{23}(1,1), T_{23}(1,2), T_{23}(1,3); T_{23}(2,1), T_{23}(2,2), T_{23}(2,3); T_{23}(3,1), T_{23}(3,2), T_{23}
318
                           T_2_3(3,3)
319
            R_3_2 = transpose(R_2_3)
320
321
             %Ecuación de propagación
322
            omega_3_3 = R_3_2*omega_2_2+n_3_3*theta_dot_2_3
323
324
            v_0_C3
326
            Cálculo de las aceleraciones
327
328
syms theta_ddot_0_1 theta_ddot_1_2 theta_ddot_2_3 real
|qd| = [theta_dot_0_1; theta_dot_1_2; theta_dot_2_3];
gai | qdd = [theta_ddot_0_1; theta_ddot_1_2; theta_ddot_2_3];
            a_0_C1 = jacobian(v_0_C1,q)*qd + jacobian(p_0_C1,q)*qdd
332
            a_0_{C2} = jacobian(v_0_{C2},q)*qd + jacobian(p_0_{C2},q)*qdd
333
a_0_3 = a_0_
           Cálculo de las aceleraciones angulares
336
            syms alpha_1_1 alpha_2_2 alpha_3_3
337
            % Eje de cada articulación en su propio marco (SCARA: z)
338
z = sym([0;0;1])
            alpha_0_0 = sym([0;0;0])
340
341
             alpha_1_1 = R_1_0*alpha_0_0 + z*theta_ddot_0_1 + cross(omega_1_1, z*theta_dot_0_1)
343
344
345
            alpha_2_2 = R_2_1*alpha_1_1 + z*theta_ddot_1_2 + cross(omega_2_2, z*theta_dot_1_2)
346
347
             % ========= ENLACE 3 =========
348
             alpha_3_3 = R_3_2*alpha_2_2 + z*theta_ddot_2_3 + cross(omega_3_3, z*theta_dot_2_3)
350
             % (Opcional) simplificar resultados
351
            alpha_1_1 = simplify(alpha_1_1)
352
            alpha_2_2 = simplify(alpha_2_2)
353
            alpha_3_3 = simplify(alpha_3_3)
355
356
            Defición de los elementos de inercia
357
            syms g I_xx1 I_yy1 I_zz1 I_xx2 I_yy2 I_zz2 I_xx3 I_yy3 I_zz3
358
            %vector de gravedad
359
360
            g_v = [0; -g; 0]
361
369
           I_C1 = [I_xx1,0,0;0,I_yy1,0;0,0,I_zz1]
363
            I_C2 = [I_xx2,0,0;0,I_yy2,0;0,0,I_zz2]
365
            I_C3 = [I_xx3,0,0;0,I_yy3,0;0,0,I_zz3]
367
368
            Cálculo del Lagrangiano
369
370
            syms m_1 m_2 m_3
372 %energía cinética de cada uno de los cuerpos
```

```
373
374
        k_1 = simplify((m_1/2)*transpose(v_0_C1)*v_0_C1+(1/2)*transpose(omega_1_1)*I_C1*omega_1_1)
37
        k_2 = simplify((m_2/2)*transpose(v_0_c2)*v_0_c2+(1/2)*transpose(omega_2_2)*I_c2*omega_2_2)
376
377
        k_3 = simplify((m_3/2)*transpose(v_0_C3)*v_0_C3+(1/2)*transpose(omega_3_3)*I_C3*omega_3_3)
378
37
         % Cáclulo de la energía potencial de cada cuerpo
380
381
        u_1 = -m_1*transpose(p_0_C1)*g_v
383
         u_2 = -m_2*transpose(p_0_c2)*g_v
385
        u_3 = -m_3*transpose(p_0_C3)*g_v
386
387
        La = (k_1+k_2+k_3)-(u_1+u_2+u_3)
388
        Cálculo de los pares
390
391
        syms theta_ddot_0_1 theta_ddot_1_2 theta_ddot_2_3
392
393
        D_theta1 = diff(La,theta_dot_0_1)
395
         % Cálculo de relación
396
397
         tao_1 = diff(D_theta1, theta_0_1)*theta_dot_0_1 + diff(D_theta1, theta_1_2)*theta_dot_1_2 + diff(
398
                    D_theta1, theta_2_3)*theta_dot_2_3 + diff(D_theta1, theta_dot_0_1)*theta_ddot_0_1+ diff(D_theta1
                    ,theta_dot_1_2)*theta_ddot_1_2+ diff(D_theta1,theta_dot_2_3)*theta_ddot_2_3-diff(La,theta_0_1)
399
         D theta2 = diff(La.theta dot 1.2)
400
40
         tao_2 = diff(D_theta_2, theta_0_1)*theta_dot_0_1 + diff(D_theta_2, theta_1_2)*theta_dot_1_2 + diff(D_theta_1_2)*theta_1_2 + 
402
                   D_theta2, theta_2_3)*theta_dot_2_3 + diff(D_theta2, theta_dot_0_1)*theta_ddot_0_1+ diff(D_theta2
                    ,theta_dot_1_2)*theta_ddot_1_2+ diff(D_theta2,theta_dot_2_3)*theta_ddot_2_3-diff(La,theta_1_2)
403
        D_theta3 = diff(La,theta_dot_2_3)
404
40!
         tao_3 = diff(D_theta3,theta_0_1)*theta_dot_0_1 + diff(D_theta3,theta_1_2)*theta_dot_1_2 + diff(
406
                    \texttt{D\_theta3,theta\_2\_3)*theta\_dot\_2\_3} + \texttt{diff}(\texttt{D\_theta3,theta\_dot\_0\_1)*theta\_ddot\_0\_1} + \texttt{diff}(\texttt{D\_theta3,theta\_0\_1)*theta\_ddot\_0\_1)*theta\_ddot\_0\_1} + \texttt{diff}(\texttt{D\_theta3,theta\_0\_1)*theta\_0\_1} + \texttt{diff}(\texttt{D\_theta3,theta\_0\_1)*theta\_0\_1} + \texttt{diff}(\texttt{D\_theta3,theta\_0\_1)*theta\_0\_1)*theta\_0\_1} + \texttt{diff}(\texttt{D\_theta3,theta\_0\_1)*theta\_0\_1} + \texttt{diff}(\texttt{D\_theta3,theta\_0\_1)*theta\_0\_1} + \texttt{diff}(\texttt{D\_theta3,theta\_0\_1)*theta_0\_1} + \texttt{diff}(\texttt{D\_theta3,theta\_0\_1)*theta_0\_1} + \texttt{diff}(\texttt{D\_theta3,theta\_0\_1)*theta_0\_1} + \texttt{diff}(\texttt{D\_theta3,theta\_0\_1)*theta_0\_1} + \texttt{diff}(\texttt{D\_theta3,theta_0\_1)*theta_0\_1} + \texttt{diff}(\texttt{D\_theta3,theta_0\_1)*theta_0\_
                     ,theta_dot_1_2)*theta_ddot_1_2+ diff(D_theta3,theta_dot_2_3)*theta_ddot_2_3-diff(La,theta_2_3)
        tao = [tao_1; tao_2; tao_3]
408
409
410
         % Cálculo de la matriz de inercia
411
        M1 = subs(tao,[theta_ddot_0_1,theta_ddot_1_2,theta_ddot_2_3,theta_dot_0_1,theta_dot_1_2,
412
                    theta_dot_2_3,g],[1,0,0,0,0,0,0])
        M2 = subs(tao,[theta_ddot_0_1,theta_ddot_1_2,theta_ddot_2_3,theta_dot_0_1,theta_dot_1_2,
414
                   theta_dot_2_3,g],[0,1,0,0,0,0,0])
415
        M3 = subs(tao,[theta_ddot_0_1,theta_ddot_1_2,theta_ddot_2_3,theta_dot_0_1,theta_dot_1_2,
416
                   theta_dot_2_3,g],[0,0,1,0,0,0,0])
417
        M_{theta} = collect([M1 M2 M3], [m_1, m_2, m_3])
418
419
        Cálculo de vector pares
420
421
422
        V_theta = subs(tao,[theta_ddot_0_1,theta_ddot_1_2,theta_ddot_2_3,theta_dot_0_1,theta_dot_1_2,
                    \texttt{theta\_dot\_2\_3,g]} \,, \texttt{[0,0,0,theta\_dot\_0\_1,theta\_dot\_1\_2,theta\_dot\_2\_3,0])}
423
        G_theta = subs(tao,[theta_ddot_0_1,theta_ddot_1_2,theta_ddot_2_3,theta_dot_0_1,theta_dot_1_2,
424
                    theta_dot_2_3,g],[0,0,0,0,0,0,g])
425
        Cálculo del modelo Dinámico inverso
42
         % Parte Coriolis/centrífuga: C(q,q) q = tau0 - g
428
        Cq = simplify( tao - G_theta )
429
430
         % Matriz C (lineal en q ): C =
432 C = simplify( jacobian(Cq, qd) )
```

```
433 | %% === Verificación: = M*q + C*q + g === 435 | tau_recon = simplify( M_theta*qdd + C*qd + G_theta )
```

8. Conclusión

A lo largo de este proyecto, hemos abordado una serie de retos técnicos y problemas complejos al desarrollar el algoritmo para la cinemática y dinámica de un robot SCARA, con el objetivo de optimizar y controlar sus movimientos de manera precisa. Uno de los principales problemas fue la construcción simbólica de las matrices de cinemática inversa. Sin embargo, a través del uso adecuado de MATLAB y las herramientas simbólicas, logramos superar este desafío y obtener modelos matemáticos precisos. Se creo una función para el cálculo de la cinemática inversa basandose en los problemas tipicos de movimiento que presentan los robots SCARA.

Este proyecto demuestra la importancia de la integración de la teoría de la cinemática y dinámica en la Industria 4.0, donde la automatización de procesos mediante robots es esencial para aumentar la eficiencia y reducir los costos en la producción industrial. Los conocimientos adquiridos en el diseño y control de robots SCARA, combinados con el uso de herramientas como la simulación simbólica, permiten crear soluciones robóticas altamente precisas y adaptativas, lo que beneficia tanto al ámbito académico como industrial.

9. Referencias

- 1. Sastry, S. (1990). Introductory to Robotics: Analysis, Control, Applications. Addison-Wesley.
- 2. Dorf, R. C., Bishop, R. H. (2017). Modern Control Engineering. Pearson.
- 3. Craig, J. J. (2005). Introduction to Robotics: Mechanics and Control. Pearson.
- 4. Indeed (2025). Qué hace un ingeniero en robótica: funciones, formación y salario.
- 5. Robotics with ROS. (2022, 15 de marzo). Inverse kinematics of a 3-DOF planar manipulator [Video]. YouTube. https://www.youtube.com/watch?v=NEySrXfxuDg
- 6. Robotics with ROS. (2022, 22 de marzo). Forward kinematics of a 3-DOF planar manipulator [Video]. You-Tube. https://www.youtube.com/watch?v=btZJHhLGg5U
- 7. Robotics with ROS. (2022, 29 de marzo). Jacobian matrix for a 3-DOF planar manipulator [Video]. YouTube. https://www.youtube.com/watch?v= $T_u m U S t A mo$